

Universidade Federal da Bahia
Instituto de Matemática

Programa de Pós-graduação em Ciência da Computação

**CARACTERIZAÇÃO DA COMPLEXIDADE
ESTRUTURAL EM FERRAMENTAS DE
ANÁLISE ESTÁTICA DE CÓDIGO-FONTE**

Joenio Marques da Costa
joenio@joenio.me

QUALIFICAÇÃO DE MESTRADO

Salvador
08 de Julho de 2016

Universidade Federal da Bahia
Instituto de Matemática

Joenio Marques da Costa
joenio@joenio.me

CARACTERIZAÇÃO DA COMPLEXIDADE ESTRUTURAL EM FERRAMENTAS DE ANÁLISE ESTÁTICA DE CÓDIGO-FONTE

*Trabalho apresentado ao Programa de Pós-graduação em
Ciência da Computação do Instituto de Matemática da
Universidade Federal da Bahia como requisito parcial para
obtenção do grau de Mestre em Ciência da Computação.*

Orientadora: Profa. Dra. Christina von Flach G. Chavez
Co-orientador: Prof. Dr. Paulo Roberto Miranda Meirelles

Salvador
08 de Julho de 2016

AGRADECIMENTOS

(pendente)

RESUMO

(pendente)

Palavras-chave:

(pendente)

ABSTRACT

(pendente)

Keywords:

(pendente)

SUMÁRIO

Capítulo 1—Introdução	1
1.1 Objetivos	1
1.2 Contribuições esperadas	1
Capítulo 2—Análise estática de código-fonte	3
2.1 Anatomia da análise de código-fonte	3
2.1.1 Extração de dados	4
2.1.2 Representação interna	4
2.1.3 Análise da representação interna	5
2.2 Métricas de código-fonte	5
2.2.1 Complexidade estrutural	6
2.3 Análise	7
Capítulo 3—Metodologia	9
3.1 Trabalhos relacionados	9
3.2 Hipóteses	9
3.3 Planejamento do estudo	9
3.3.1 Seleção de ferramentas de análise estática	9
3.3.2 Revisão estruturada	10
3.4 Coleta de dados	11
3.4.1 Ferramentas da academia	11
3.4.2 Ferramentas da indústria	11
3.5 Análise de dados	12
3.5.1 Distribuição dos valores das métricas	12
3.5.2 Cálculo de distância e modelo de aproximação	12
3.5.3 Caracterização das ferramentas	12
Capítulo 4—Resultados preliminares	13
4.1 Análise exploratória da revisão estruturada	13
4.2 Ferramentas com código-fonte disponível	13
4.3 Análise exploratória dos valores das métricas	14
4.3.1 Métricas para as ferramentas da academia	14
4.3.2 Métricas para as ferramentas da indústria	20
4.3.3 Gráficos das métricas para as ferramentas acadêmicas	29

4.3.4	Gráficos das métricas para as ferramentas da indústria	39
4.3.5	Gráfico comparativo para as ferramentas academicas	54
4.3.6	Gráfico comparativo para as ferramentas da indústria	58
4.4	Evolução inicial da ferramenta Analizo	62
Capítulo 5—Conclusão		63
5.1	Limitações do trabalho	63
5.2	Trabalhos futuros	63

LISTA DE FIGURAS

2.1	CodeSonar: Static Analysis Representation	4
4.1	distribuição das métricas para a ferramenta accessanalysis	29
4.2	distribuição das métricas para a ferramenta bakar-ali	30
4.3	distribuição das métricas para a ferramenta error-prone	31
4.4	distribuição das métricas para a ferramenta indus	32
4.5	distribuição das métricas para a ferramenta inputtracer	33
4.6	distribuição das métricas para a ferramenta jastadd	34
4.7	distribuição das métricas para a ferramenta source-meter	35
4.8	distribuição das métricas para a ferramenta srcml	36
4.9	distribuição das métricas para a ferramenta tackle	37
4.10	distribuição das métricas para a ferramenta wala	38
4.11	distribuição das métricas para a ferramenta boon	39
4.12	distribuição das métricas para a ferramenta clang	40
4.13	distribuição das métricas para a ferramenta closure-compiler	41
4.14	distribuição das métricas para a ferramenta cppcheck	42
4.15	distribuição das métricas para a ferramenta cqual	43
4.16	distribuição das métricas para a ferramenta findbugs	44
4.17	distribuição das métricas para a ferramenta findsecuritybugs	45
4.18	distribuição das métricas para a ferramenta jlint	46
4.19	distribuição das métricas para a ferramenta pixy	47
4.20	distribuição das métricas para a ferramenta pmd	48
4.21	distribuição das métricas para a ferramenta rats	49
4.22	distribuição das métricas para a ferramenta smatch	50
4.23	distribuição das métricas para a ferramenta splint	51
4.24	distribuição das métricas para a ferramenta uno	52
4.25	distribuição das métricas para a ferramenta wap	53
4.26	distribuição para as ferramentas da academia	54
4.27	distribuição para as ferramentas da academia	55
4.28	distribuição para as ferramentas da academia	56
4.29	distribuição para as ferramentas da academia	57
4.30	distribuição para as ferramentas da indústria	58
4.31	distribuição para as ferramentas da indústria	59
4.32	distribuição para as ferramentas da indústria	60
4.33	distribuição para as ferramentas da indústria	61

LISTA DE TABELAS

4.1	Total de artigos analisados por edições do SCAM	13
4.2	Lista com total de ferramentas a serem analisadas	14
4.3	percentis da métrica acc	14
4.4	percentis da métrica accm	15
4.5	percentis da métrica amloc	15
4.6	percentis da métrica anpm	15
4.7	percentis da métrica cbo	16
4.8	percentis da métrica dit	16
4.9	percentis da métrica lcom4	16
4.10	percentis da métrica loc	17
4.11	percentis da métrica mmloc	17
4.12	percentis da métrica noa	17
4.13	percentis da métrica noc	18
4.14	percentis da métrica nom	18
4.15	percentis da métrica npa	18
4.16	percentis da métrica npm	19
4.17	percentis da métrica rfc	19
4.18	percentis da métrica sc	19
4.19	percentis da métrica acc	20
4.20	percentis da métrica accm	21
4.21	percentis da métrica amloc	21
4.22	percentis da métrica anpm	22
4.23	percentis da métrica cbo	22
4.24	percentis da métrica dit	23
4.25	percentis da métrica lcom4	23
4.26	percentis da métrica loc	24
4.27	percentis da métrica mmloc	24
4.28	percentis da métrica noa	25
4.29	percentis da métrica noc	25
4.30	percentis da métrica nom	26
4.31	percentis da métrica npa	26
4.32	percentis da métrica npm	27
4.33	percentis da métrica rfc	27
4.34	percentis da métrica sc	28

CAPÍTULO 1

INTRODUÇÃO

(pendente)

1.1 OBJETIVOS

O objetivo principal deste trabalho é compreender as ferramentas de software para análise estática de código-fonte, do ponto de vista de sua manutenabilidade, a partir da análise de sua complexidade estrutural, discutindo quais características arquiteturais explicam seus atributos de qualidade interna.

Objetivos específicos:

- Realizar uma revisão da literatura para caracterizar a arquitetura das ferramentas de análise estática de código-fonte.
- Realizar uma revisão estruturada, com base em artigos publicados em conferências relacionadas, para selecionar e obter código-fonte de ferramentas de análise estática (explicadas na Seção 3.3.2), para coletar suas métricas de código-fonte.
- Selecionar e obter o código-fonte de ferramentas de análise estática desenvolvidas pela indústria (explicadas na Seção 3.4.2), para coletar suas métricas de código-fonte.
- Propor intervalos de referência para a observação parametrizada da qualidade interna das ferramentas de análise estática, a partir de suas métricas de código-fonte.
- Cálculo da distância Bayesiana entre valores de referência e os valores das ferramentas estudadas.
- Evoluir uma ferramenta de análise de código-fonte para coleta de métricas de código-fonte (detalhado na Seção 4.4).
- Um conjunto de estratégias para a manutenção e evolução de ferramentas de análise estática de código-fonte.

1.2 CONTRIBUIÇÕES ESPERADAS

CC1: Um conjunto de intervalos de referência da frequência dos valores de métricas de código-fonte para o domínio de ferramentas de análise estática

CC2: Explicação da alta complexidade estrutural em ferramentas de análise de código-fonte

CT1: Evolução de uma ferramenta de análise de código-fonte

CAPÍTULO 2

ANÁLISE ESTÁTICA DE CÓDIGO-FONTE

Análise estática de código-fonte é um ramo da engenharia de software voltado a obter informações acerca de um programa a partir do seu código-fonte sem necessidade de execução, e sem requerer qualquer outro artefato do programa além do próprio código. É considerada uma atividade meio com objetivo de suportar uma variedade de tarefas comuns da engenharia de software, muitas dessas tarefas são substancialmente úteis em atividades de manutenção, Binkley (2007) define uma extensa lista dessas atividades, segue abaixo um sub-conjunto delas.

- recuperação arquitetural
- detecção de clone
- compreensão
- pesquisa em engenharia de software empírica
- localização de falhas
- desenvolvimento baseado em modelos
- análise de performance
- evolução de software
- garantia de qualidade
- engenharia reversa
- manutenção de software
- versionamento de software
- testes
- ferramentas e ambientes
- desenvolvimento de aplicações web

Seja em qual atividade for, a análise estática possui uma importância significativa, pois ao ser capaz de extrair informações diretamente do código-fonte de um programa pode auxiliar a responder com precisão a seguinte pergunta: “O que é que este programa significa?”

2.1 ANATOMIA DA ANÁLISE DE CÓDIGO-FONTE

Cruz, Henriques e Pinto (2009), Binkley (2007) realizaram um estudo onde definiram a estrutura comum da análise de código-fonte em três componentes: a) extração de dados, b) representação interna, e c) análise da representação interna. Esta mesma estrutura é também apresentada na documentação da ferramenta de análise de código-fonte CodeSonar¹, reproduzida aqui na Figura 2.1.

As seções à seguir detalham cada um destes componentes.

¹<http://www.grammatech.com/products/source-code-analysis>

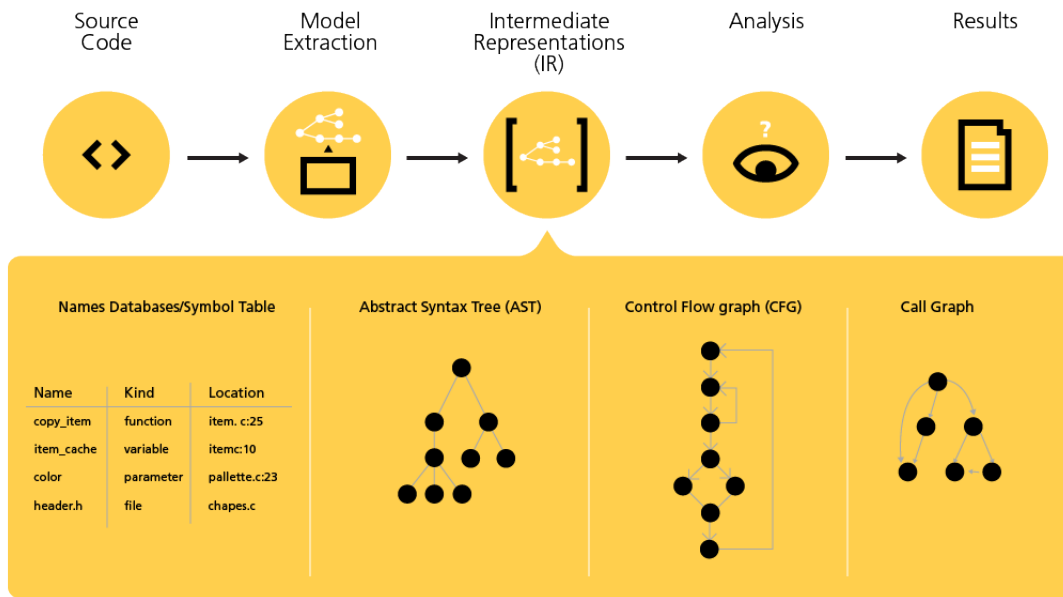


Figura 2.1 CodeSonar: Static Analysis Representation

2.1.1 Extração de dados

O processo de recuperar dados para futuro processamento ou armazenamento é chamado de extração de dados, exportar estes dados em uma representação intermediária é uma estratégia comum para facilitar análise e transformação de dados e possivelmente adição de metadados.

O primeiro componente da análise de código-fonte é a extração de dados, responsável por processar o código-fonte e transformar em uma ou mais representações internas. Em essência este componente converte a sintaxe de um programa em uma outra sintaxe abstrata e mais adequada para análise posterior.

Este componente é usualmente chamado de analisador sintático (ou *parser*) e a tarefa realizada por ele é considerada como um mal necessário da análise de código-fonte. Apesar de teoricamente não ser uma tarefa difícil, a complexidade das linguagens de programação modernas podem restringir significativamente a análise de código-fonte.

2.1.2 Representação interna

Os dados obtidos na extração precisam ser representados em um formato mais abstrato, esta é a responsabilidade do segundo componente da análise de código-fonte: armazenar os dados coletados usando uma representação interna num formato mais adequado para análise automática, o principal papel deste componente é abstrair aspectos particulares do programa.

Muitas das representações internas existentes tem seu surgimento na área de compiladores e algumas delas são produzidas diretamente pelo *parser* enquanto outras requerem uma análise específica. Os formatos mais comuns são baseados em grafos, dentre os

quais o mais amplamente utilizado é Control Flow Graph (CFG), ou Call Graph. Outros formatos conhecidos são:

- Identifiers Table
- Abstract Syntax Tree (AST)
- Decorated Abstract Syntax Tree (AST)
- Control Flow Graph (CFG)
- Value Dependence Graph (VDG)
- Call Graph
- Module Dependence Graph (MDG)
- Trace Flow Graph (TFG)
- Static Single Assignment (SSA)

Estas representações podem ser utilizadas tanto na análise estática quanto na análise dinâmica, o uso de um ou outro formato depende do tipo de análise e seu propósito. Numa aplicação real é comum combinar diferentes tipos no sentido de enriquecer e estruturar a informação extraída.

2.1.3 Análise da representação interna

Este terceiro componente da análise de código é responsável por realizar inferências a partir das informações representadas internamente, este processo requer que as informações armazenadas estejam interconectadas e também interrelacionadas com conhecimento anterior. Esta análise pode gerar conhecimento quantitativo ou qualitativo, como por exemplo métricas de software ou mineração de dados, respectivamente. Técnicas de visualização são cruciais para a efetividade deste processo.

É neste componente que acontece a análise propriamente dita, e ele pode ser classificado em seis dimensões básicas: estática versus dinâmica, sound versus unsound, segura versus insegura, sensível ao fluxo versus insensível ao fluxo, sensível ao contexto versus insensível ao contexto, e, em relação à sua complexidade.

Estas características da análise vão afetar o resultado gerado quanto à confiabilidade, completude, garantia de precisão, eficiência, performance, complexidade computacional, precisão da informação, entre outras.

2.2 MÉTRICAS DE CÓDIGO-FONTE

Uma métrica, segundo a definição da ISO/IEC 25010 (ISO, 2011), é a composição de procedimentos para a definição de escalas e métodos para medidas, em engenharia de software estas métricas podem ser classificadas em três categorias: métricas de produto, métricas de processo e métricas de projeto.

Métricas de produto são aquelas que descrevem as características de artefatos do desenvolvimento, como documentos, diagramas, código-fonte e arquivos binários. Métricas de processo medem atributos relacionados ao ciclo de desenvolvimento do software. Métricas de projeto são aquelas que descrevem as características dos recursos disponíveis ao desenvolvimento.

As métricas de produto podem ser classificadas entre internas ou externas, ou seja,

aquelas que medem propriedades visíveis apenas aos desenvolvedores ou que medem propriedades visíveis aos usuários, respectivamente.

As propriedades visíveis aos desenvolvedores podem ser medidas através de métricas de código-fonte e a sua observação pode indicar aspectos relevantes à manutenibilidade de um programa. Dentre as inúmeras métricas de código-fonte iremos destacar aquelas utilizadas no estudo de Meirelles (2013) onde associou-se características de qualidade de produto de software à características de qualidade de código-fonte através da observação de suas métricas.

- **CBO** *Coupling Between Objects (Acoplamento entre objetos)*: mede o acoplamento entre objetos do software (CHIDAMBER; KEMERER, 1994).
- **LCOM4** *Lack of Cohesion in Methods (Ausência de coesão em métodos)*: mede o grau de falta de coesão em métodos (HITZ; MONTAZERI, 1995).
- **SC** *Structural Complexity (Complexidade estrutural)*: mede a complexidade do software (DARCY et al., 2005).
- **AMLOC** *Average Method LOC (Média do número de linhas de código por método)*: indica se o código está bem distribuído entre os métodos, quanto maior mais “pesados” são os métodos (??)
- **ACCM** *Average Cyclomatic Complexity per Method (Média de complexidade ciclomática por método)*: mede a complexidade do programa (MCCABE, 1976).
- **RFC** *Response For a Class (Resposta para uma classe)*: número de métodos dentre todos os métodos que podem ser invocados em resposta a uma mensagem enviada por um objeto de uma classe (SHARBLE; COHEN, 1993).
- **DIT** *Depth of Inheritance Tree (Profundidade da árvore de herança)*: mede o número de ancestrais de uma classe (SHIH et al., 1997).
- **NOC** *Number Of Children (Número de filhos)*: número total de filhos de uma classe (ROSENBERG; HYATT, 1997).
- **COF** *Coupling Factor (Fator de acoplamento)*: razão entre o número máximo possível de acoplamentos no sistema e o número atual de acoplamentos possíveis por herança (HARRISON; COUNSELL; NITHI, 1998).

2.2.1 Complexidade estrutural

Complexidade estrutural (SC) é uma medida calculada através da combinação das métricas de acoplamento (CBO) e coesão (LCOM4), esta medida é, possivelmente, um indicativo de problemas na manutenibilidade de sistemas de software, em especial sobre o esforço necessário para atividades de manutenção (TERCEIRO, 2012). Ela está relacionada à como os módulos de um programa estão organizados entre si bem como à estrutura interna de cada módulo.

Esta métrica pode dar indícios importantes sobre características arquiteturais de um programa de software, e podem explicar seus atributos de qualidade interna.

2.3 ANALIZO

Analizo² é um *toolkit* livre, multi-linguagem e extensível para análise de código-fonte, calcula uma grande quantidade de métricas, como CBO, LCOM4, RFC, LOC, e suporta análise das linguagens de programação C, C++ e Java.

É uma ferramenta mantida constantemente, com desenvolvedores ativos, e atualizações frequentes, sua última versão 1.19.0 foi lançada em 18 de Fevereiro de 2016 e será esta a versão utilizada neste estudo.

²<http://analizo.org>

CAPÍTULO 3

METODOLOGIA

Visando então caracterizar as ferramentas de análise estática de código-fonte será feito um levantamento de artigos com publicação de ferramentas deste domínio e uma busca por ferramentas de análise estática na indústria.

Este levantamento resultará num conjunto de ferramentas de análise estática de código-fonte, estas ferramentas serão caracterizadas através da análise de suas métricas de qualidade interna e darão valores de referência de métricas para ferramentas deste domínio.

A avaliação destes valores juntamente com as características arquiteturais encontradas darão origem a recomendações de refatoração para ferramentas de análise estática de código-fonte.

3.1 TRABALHOS RELACIONADOS

(pendente)

3.2 HIPÓTESES

Para guiar os estudos, conforme os objetivos acima, definimos as seguintes hipóteses:

- H1:** *É possível calcular valores de referência de métricas de código-fonte para ferramentas de análise estática a partir de um conjunto de softwares da academia e da indústria*
- H2:** *Ferramentas de análise estática tendem a ter uma maior complexidade estrutural do que ferramentas de outros domínios de aplicação*
- H3:** *Dentre as ferramentas de análise estática de código-fonte, aquelas desenvolvidas na indústria apresentam uma menor complexidade estrutural*

(pendente) “explicar as hipóteses aqui.”

3.3 PLANEJAMENTO DO ESTUDO

3.3.1 Seleção de ferramentas de análise estática

Iremos realizar uma busca por ferramentas de análise estática desenvolvidas no contexto da academia e da indústria, para isso, será feito um planejamento detalhado para realizar a seleção de ferramentas em cada um destes contextos.

No contexto acadêmico a busca por ferramentas será feita através de artigos publicados em conferências que tenham histórico de publicação sobre ferramentas de análise estática

de código-fonte. Estes artigos serão analisados e aqueles com publicação de ferramenta serão selecionados.

Na indústria, a busca por ferramentas será feita a partir da base mantida pelo projeto SAMATE, um projeto do NIST dedicado ao desenvolvimento de métodos que permitam avaliar e medir a eficiência de ferramentas e técnicas sobre garantia de qualidade em software. O site do projeto mantém uma lista de ferramentas de análise estática.

Uma vez que as ferramentas tenham sido selecionadas iniciaremos a extração de seus atributos de qualidade interna a partir do cálculo de suas métricas de código-fonte.

3.3.2 Revisão estruturada

Chamamos de revisão estruturada um processo disciplinado para seleção de artigos a partir de critérios bem definidos de forma que seja possível a reprodução do estudo por parte de pesquisadores interessados.

A primeira etapa da revisão é definir onde os artigos serão encontrados, as fontes serão conferências com o tema de interesse ao estudo realizado, uma vez definido a origem é feito cópia local de todos os artigos em formato PDF.

A caracterização dos artigos se inicia por uma busca textual realizada através de um script¹ escrito especialmente para este estudo, esta busca seleciona os artigos através dos seguintes termos:

```
"tool" OU "framework"; E  
"download" OU "available"; E  
"http" OU "ftp"; E  
"static analysis" OU "parser".
```

O segundo passo é realizado a partir de uma leitura do artigo a fim de identificar se realmente trata-se de um artigo com publicação de ferramenta de análise estática, uma vez que se confirme que o artigo publica uma ferramenta este artigo será selecionado, ferramentas que sejam mais abrangentes do que apenas análise estática mas que contenham esta função em seu conjunto também serão considerados.

Uma vez identificado os artigos que publicam ferramentas de análise estática, procuramos no próprio artigo referências de onde encontrar o software, neste momento algumas ações serão tomadas a partir da situação encontrada.

- Aqueles autores que afirmam que a ferramenta está disponível mas o artigo não contém referências de onde encontrar o software serão contactados por email solicitando informações de onde obter o código-fonte.
- Os artigos que indicam onde obter o código-fonte mas o acesso ao local indicado não está disponível, ou está disponível mas o software não se encontra lá, os autores também serão contactados solicitando informações atualizadas de onde obter uma cópia do código-fonte da ferramenta

¹<http://github.com/joenio/dissertacao-ufba-2016/blob/master/revisao-estruturada/filter>

- Os demais artigos que indicam onde obter o código-fonte e a referência está correta, iremos fazer download da última versão disponível do software

Uma vez que os autores contactados por email respondam com informações de onde obter o software iremos adicionar estes softwares no conjunto de softwares a serem analisados.

3.4 COLETA DE DADOS

Serão realizadas duas etapas para identificar e mapear as ferramentas de análise estática com código-fonte disponível, uma atividade relacionada ao levantamento de ferramentas da academia, descrita na Seção 3.4.1, outra atividade relacionada ao levantamento de ferramentas da indústria, descrita na Seção 3.4.2.

Uma vez definido o conjunto de ferramentas a serem estudados iremos identificar em qual linguagem de programação cada ferramenta é escrita, isto é necessário pois apenas as linguagens suportadas pela ferramenta Analizo serão selecionadas. Esta análise será feita pela ferramenta *sloccount*², uma ferramenta livre para contar linhas de código fonte e que identifica em qual linguagem de programação um projeto é escrito.

As ferramentas selecionadas serão analisadas com o Analizo para extração de suas métricas de código-fonte, esta análise utilizará o comando *metrics* da suíte Analizo, ele calcula métricas globais de projeto e métricas por módulos, este estudo levará em consideração a distribuição das métricas por módulos.

3.4.1 Ferramentas da academia

A seleção de ferramentas da academia será realizada através da revisão estruturada dos artigos da conferência SCAM - Source Code Analysis and Manipulation Working Conference³ e mais uma dentre as seguintes conferências:

- ASE - Automated Software Engineering⁴
- CSMR⁵ - Conference on Software Maintenance and Reengineering⁶
- ICSME - International Conference on Software Maintenance and Evolution⁷

3.4.2 Ferramentas da indústria

A seleção de ferramentas da indústria será feita de forma não estruturada a partir de uma busca livre e manual no site do projeto SAMATE⁸ - *Software Assurance Metrics and*

²<http://www.dwheeler.com/sloccount>

³<http://www.ieee-scam.org>

⁴<http://ase-conferences.org>

⁵A conferência CSMR tornou-se SANER - Software Analysis, Evolution, and Reengineering a partir da edição 2015.

⁶<http://ansymore.uantwerpen.be/csmr-were>

⁷<http://www.icsme.org>

⁸<http://samate.nist.gov>

Tool Evaluation disponível em NIST (2016). As ferramentas com código-fonte disponível, escritas nas linguagens de programação suportadas pelo Analizo serão selecionadas.

3.5 ANÁLISE DE DADOS

(pendente)

3.5.1 Distribuição dos valores das métricas

(pendente) “como será calculado a distribuição dos valores”.

3.5.2 Cálculo de distância e modelo de aproximação

(pendente) “como será feito este cálculo”.

3.5.3 Caracterização das ferramentas

(pendente) “como as ferramentas serão caracterizadas”.

CAPÍTULO 4

RESULTADOS PRELIMINARES

4.1 ANÁLISE EXPLORATÓRIA DA REVISÃO ESTRUTURADA

A Tabela 4.1 apresenta um resumo do número de artigos em cada edição do SCAM e quantos artigos trazem publicação de ferramenta de análise estática com código fonte disponível.

Tabela 4.1 Total de artigos analisados por edições do SCAM

Edição	Total de artigos	Script filter	Artigos com ferramenta
SCAM 2001	23	6	-
SCAM 2002	18	6	-
SCAM 2003	21	7	-
SCAM 2004	17	3	-
SCAM 2005	19	7	-
SCAM 2006	22	9	2
SCAM 2007	23	7	1
SCAM 2008	29	14	-
SCAM 2009	20	10	-
SCAM 2010	21	15	1
SCAM 2011	21	9	1
SCAM 2012	22	12	4
SCAM 2013	24	12	-
SCAM 2014	35	16	1
SCAM 2015	30	18	0
Total	315	133	10

4.2 FERRAMENTAS COM CÓDIGO-FONTE DISPONÍVEL

A Tabela 4.2 apresenta as ferramenta da academia e da indústria após avaliação final sobre disponibilidade do código-fonte e possibilidade de ser analisada. Das 54 ferramentas do NIST apenas 19 tinham código fonte disponível, destas apenas 15 eram suportadas pelo Analizo. Dos 315 artigos avaliados na revisão estruturada apenas 10 tinham ferramentas disponíveis capaz de serem analisadas pelo Analizo.

Assim, temos um total de 25 ferramentas, 15 da indústria e 10 da academia.

Tabela 4.2 Lista com total de ferramentas a serem analisadas

n	Ferramentas da indústria	Linguagem	n	Ferramentas da academia	Linguagem
1	BOON	ansic	16	Indus	java
2	CQual	ansic	17	TACLE	java
3	RATS	ansic	18	JastAdd	java
4	Smatch	ansic	19	WALA	java
5	Splint	ansic	20	error-prone	java
6	UNO	ansic	21	AccessAnalysis	java
7	Clang Static Analyzer	cpp	22	Bakar Alir	java
8	Cppcheck	cpp	23	InputTracer	ansic
9	Jlint	cpp	24	srcML	cpp
10	WAP	java	25	Source Meter	java
11	Closure Compiler	java			
12	FindBugs	java			
13	FindSecurityBugs	java			
14	Pixy	java			
15	PMD	java			

4.3 ANÁLISE EXPLORATÓRIA DOS VALORES DAS MÉTRICAS

(pendente) “métricas das ferramentas, cálculo dos percentis, score de aproximação, valores de referências, discussão sobre cada métrica, discussão sobre as ferramentas com melhor qualidade, discutir detalhes da arquitetura das melhores ferramentas”.

4.3.1 Métricas para as ferramentas da academia

	classes	1%	5%	10%	25%	50%	75%	90%	95%	99%
accessanalysis	91	0.0	0.0	0.0	0.0	0.0	0.0	4.0	5.5	14.7
bakarali	611	0.0	0.0	0.0	0.0	0.0	0.0	0.0	0.0	1.9
errorprone	1703	0.0	0.0	0.0	0.0	0.0	0.0	2.0	3.0	20.0
indus	214	0.0	0.0	0.0	0.0	0.0	2.0	5.0	9.0	14.6
inputtracer	2045	0.0	0.0	0.0	0.0	0.0	2.0	13.0	29.0	215.9
jastadd	59	0.0	0.0	0.0	0.0	0.0	4.0	21.8	32.1	36.5
sourcemeter	143	0.0	0.0	0.0	0.0	0.0	1.5	7.6	15.9	37.9
srcml	871	0.0	0.0	0.0	0.0	0.0	1.0	6.0	16.5	92.9
tacle	34	0.0	0.0	0.0	1.0	1.5	6.5	9.4	11.7	35.1
wala	2626	0.0	0.0	0.0	0.0	0.0	3.0	14.0	30.0	113.0

Tabela 4.3 percentis da métrica acc

	classes	1%	5%	10%	25%	50%	75%	90%	95%	99%
accessanalysis	91	0.0	0.0	0.0	1.0	1.0	1.7	2.7	3.2	5.0
bakarali	611	1.0	1.0	1.0	1.0	1.0	1.0	1.0	1.0	2.0
errorprone	1703	0.0	0.0	0.0	0.0	1.0	1.0	2.2	3.5	6.5
indus	214	0.0	1.0	1.0	1.0	1.0	2.3	3.6	4.2	8.6
inputtracer	2045	0.0	0.0	0.0	0.0	0.0	1.1	3.0	5.0	12.1
jastadd	59	0.0	1.0	1.0	1.0	1.1	1.7	2.5	3.1	4.8
sourcemeter	143	0.4	1.0	1.0	1.0	1.0	2.0	3.4	4.0	4.6
srcml	871	0.0	0.0	0.0	0.0	1.0	1.0	2.0	2.9	9.9
tacle	34	0.3	1.0	1.0	1.0	1.8	2.1	3.1	4.1	5.2
wala	2626	0.0	0.0	1.0	1.0	1.0	2.0	3.2	4.5	7.4

Tabela 4.4 percentis da métrica accm

	classes	1%	5%	10%	25%	50%	75%	90%	95%	99%
accessanalysis	91	0.0	0.0	0.0	4.0	7.0	10.7	16.0	17.8	22.9
bakarali	611	3.0	3.0	3.0	3.0	3.0	3.0	3.0	3.1	10.0
errorprone	1703	0.0	0.0	0.0	0.0	3.0	7.1	14.3	19.9	35.0
indus	214	0.0	1.0	1.0	3.0	7.5	14.6	23.7	27.8	36.9
inputtracer	2045	0.0	0.0	0.0	0.0	0.0	14.5	31.5	49.0	156.4
jastadd	59	0.0	1.0	2.2	3.0	4.6	7.7	10.7	15.4	22.4
sourcemeter	143	0.8	3.0	3.0	3.0	5.7	12.4	23.3	29.8	1105.1
srcml	871	0.0	0.0	0.0	0.0	1.0	5.4	20.5	51.4	544.6
tacle	34	0.3	1.0	1.0	3.5	7.2	11.3	26.0	27.9	235.9
wala	2626	0.0	0.0	1.0	3.0	4.6	9.0	16.4	24.0	43.8

Tabela 4.5 percentis da métrica amloc

	classes	1%	5%	10%	25%	50%	75%	90%	95%	99%
accessanalysis	91	0.0	0.0	0.0	0.0	0.8	1.0	1.2	1.5	1.8
bakarali	611	0.0	0.5	0.5	0.5	0.5	0.5	0.5	0.5	0.7
errorprone	1703	0.0	0.0	0.0	0.0	0.0	1.3	2.0	2.0	3.0
indus	214	0.0	0.0	0.1	0.5	1.0	1.4	2.0	2.5	3.0
inputtracer	2045	0.0	0.0	0.0	0.0	0.0	1.0	2.0	2.4	4.0
jastadd	59	0.0	0.0	0.0	0.3	1.0	1.4	1.9	2.0	2.0
sourcemeter	143	0.0	0.0	0.0	0.3	1.0	2.0	2.7	3.0	3.5
srcml	871	0.0	0.0	0.0	0.0	0.0	1.0	2.0	2.0	4.0
tacle	34	0.0	0.0	0.0	0.5	0.9	1.2	1.7	1.9	2.5
wala	2626	0.0	0.0	0.0	0.4	0.9	1.3	2.0	2.7	4.2

Tabela 4.6 percentis da métrica anpm

	classes	1%	5%	10%	25%	50%	75%	90%	95%	99%
accessanalysis	91	0.0	1.0	1.0	3.5	6.0	6.0	7.0	9.0	10.1
bakarali	611	4.0	8.0	8.0	8.0	8.0	8.0	8.0	8.0	8.0
errorprone	1703	5.0	78.0	86.0	130.0	162.0	168.0	196.0	197.0	198.0
indus	214	3.1	4.0	10.0	20.2	22.0	58.5	61.7	62.0	63.0
inputtracer	2045	54.0	123.0	203.2	376.0	503.0	584.0	643.0	660.0	672.0
jastadd	59	3.5	7.0	7.0	8.0	13.0	18.5	24.0	24.0	24.0
sourcemeter	143	1.3	5.2	8.0	15.5	32.0	38.0	39.0	39.0	39.0
srcml	871	0.0	5.0	5.0	9.0	94.0	105.0	148.0	166.0	176.0
tacle	34	0.0	0.0	0.3	5.8	14.5	17.0	23.0	23.0	23.0
wala	2626	40.0	52.0	128.0	369.2	615.0	873.0	986.0	998.0	1011.0

Tabela 4.7 percentis da métrica cbo

	classes	1%	5%	10%	25%	50%	75%	90%	95%	99%
accessanalysis	91	0.0	0.0	0.0	0.0	1.0	1.0	1.0	2.0	2.0
bakarali	611	0.0	2.0	2.0	2.0	2.0	2.0	2.0	2.0	2.0
errorprone	1703	0.0	0.0	0.0	0.0	0.0	1.0	2.0	2.0	3.0
indus	214	0.0	0.0	0.0	1.0	1.0	2.0	3.0	3.0	4.0
inputtracer	2045	0.0	0.0	0.0	0.0	0.0	0.0	0.0	0.0	0.0
jastadd	59	0.0	0.0	0.0	0.0	1.0	1.0	2.0	3.0	3.0
sourcemeter	143	0.0	0.0	1.0	1.0	2.0	2.0	3.0	3.0	3.0
srcml	871	0.0	0.0	0.0	0.0	0.0	0.0	2.0	4.0	6.3
tacle	34	0.0	0.0	0.0	0.0	1.0	1.0	2.0	2.0	2.0
wala	2626	0.0	0.0	0.0	0.0	1.0	2.0	3.0	4.0	5.0

Tabela 4.8 percentis da métrica dit

	classes	1%	5%	10%	25%	50%	75%	90%	95%	99%
accessanalysis	91	0.0	0.0	0.0	1.0	2.0	4.0	9.0	19.0	27.3
bakarali	611	1.0	2.0	2.0	3.0	8.0	10.0	12.0	14.0	19.8
errorprone	1703	0.0	0.0	0.0	0.0	1.0	3.0	6.0	9.0	24.0
indus	214	0.0	1.0	1.0	1.0	2.0	4.0	7.0	13.0	25.6
inputtracer	2045	0.0	0.0	0.0	0.0	0.0	1.0	3.0	8.0	36.6
jastadd	59	0.0	1.0	1.0	1.0	2.0	6.0	20.2	25.2	96.9
sourcemeter	143	0.4	1.0	1.0	1.0	2.0	3.0	4.0	5.0	7.6
srcml	871	0.0	0.0	0.0	0.0	1.0	3.0	8.0	13.0	30.3
tacle	34	0.3	1.0	1.0	1.0	2.0	3.0	4.7	7.0	10.4
wala	2626	0.0	0.0	1.0	1.0	2.0	4.0	8.0	12.8	27.0

Tabela 4.9 percentis da métrica lcom4

	classes	1%	5%	10%	25%	50%	75%	90%	95%	99%
accessanalysis	91	0.0	0.0	0.0	6.5	24.0	72.5	135.0	160.0	365.9
bakarali	611	6.0	6.0	6.0	12.0	24.0	30.0	36.0	42.0	60.0
errorprone	1703	0.0	0.0	0.0	0.0	6.0	20.0	64.0	119.0	333.8
indus	214	0.0	1.0	2.0	6.0	34.0	107.8	199.6	280.3	584.6
inputtracer	2045	0.0	0.0	0.0	0.0	0.0	37.0	241.8	823.4	3712.7
jastadd	59	0.0	1.9	4.6	11.0	27.0	80.0	296.0	482.2	746.6
sourcemeter	143	1.3	3.0	3.0	9.0	17.0	49.0	138.6	232.1	1105.1
srcml	871	0.0	0.0	0.0	0.0	2.0	26.0	107.0	245.5	908.6
tacle	34	0.7	2.0	3.0	13.8	78.5	139.8	263.7	683.4	966.5
wala	2626	0.0	0.0	1.0	6.0	20.5	55.0	133.0	232.0	586.5

Tabela 4.10 percentis da métrica loc

	classes	1%	5%	10%	25%	50%	75%	90%	95%	99%
accessanalysis	91	0.0	0.0	0.0	4.0	10.0	19.5	27.0	36.5	45.3
bakarali	611	3.0	3.0	3.0	3.0	3.0	3.0	3.0	3.5	15.0
errorprone	1703	0.0	0.0	0.0	0.0	3.0	10.0	24.0	36.0	60.0
indus	214	0.0	1.0	1.0	3.0	14.0	43.2	58.0	72.3	92.6
inputtracer	2045	0.0	0.0	0.0	0.0	0.0	23.0	87.0	191.6	1064.8
jastadd	59	0.0	1.0	3.0	3.0	9.0	18.5	31.4	40.0	91.7
sourcemeter	143	1.3	3.0	3.0	3.0	9.0	24.5	75.6	102.8	1105.1
srcml	871	0.0	0.0	0.0	0.0	1.0	9.0	38.0	92.0	671.8
tacle	34	0.3	1.0	1.0	7.0	16.0	35.8	53.8	106.5	366.9
wala	2626	0.0	0.0	1.0	3.0	8.0	20.0	44.0	67.0	161.8

Tabela 4.11 percentis da métrica mmloc

	classes	1%	5%	10%	25%	50%	75%	90%	95%	99%
accessanalysis	91	0.0	0.0	0.0	0.0	1.0	3.0	7.0	9.5	13.0
bakarali	611	0.0	1.0	1.0	2.0	4.0	5.0	6.0	7.0	10.0
errorprone	1703	0.0	0.0	0.0	0.0	0.0	1.0	2.0	4.0	9.0
indus	214	0.0	0.0	0.0	0.0	1.0	4.0	7.0	11.3	17.7
inputtracer	2045	0.0	0.0	0.0	0.0	2.0	4.0	8.0	13.8	50.0
jastadd	59	0.0	0.0	0.0	0.0	1.0	3.0	5.0	6.2	10.5
sourcemeter	143	0.0	0.0	0.0	0.0	1.0	4.0	9.0	26.6	131.7
srcml	871	0.0	0.0	0.0	0.0	0.0	1.0	3.0	6.5	22.2
tacle	34	0.0	0.0	0.0	0.0	2.0	7.5	10.0	10.3	15.0
wala	2626	0.0	0.0	0.0	0.0	1.0	2.0	5.0	7.0	23.2

Tabela 4.12 percentis da métrica noa

	classes	1%	5%	10%	25%	50%	75%	90%	95%	99%
accessanalysis	91	0.0	0.0	0.0	0.0	0.0	0.0	1.0	3.5	5.0
bakarali	611	0.0	0.0	0.0	0.0	0.0	0.0	0.0	0.0	0.0
errorprone	1703	0.0	0.0	0.0	0.0	0.0	0.0	0.0	1.0	7.0
indus	214	0.0	0.0	0.0	0.0	0.0	1.0	1.0	2.0	3.0
inputtracer	2045	0.0	0.0	0.0	0.0	0.0	0.0	0.0	0.0	0.0
jastadd	59	0.0	0.0	0.0	0.0	0.0	0.0	1.0	2.1	4.8
sourcemeter	143	0.0	0.0	0.0	0.0	0.0	0.0	4.0	4.0	4.6
srcml	871	0.0	0.0	0.0	0.0	0.0	0.0	0.0	1.0	4.0
tacle	34	0.0	0.0	0.0	0.0	0.0	0.8	1.7	2.0	3.3
wala	2626	0.0	0.0	0.0	0.0	0.0	0.0	2.0	3.0	9.8

Tabela 4.13 percentis da métrica noc

	classes	1%	5%	10%	25%	50%	75%	90%	95%	99%
accessanalysis	91	0.0	0.0	0.0	1.5	3.0	7.0	17.0	21.5	27.3
bakarali	611	1.0	2.0	2.0	3.5	8.0	10.0	12.0	14.0	20.0
errorprone	1703	0.0	0.0	0.0	0.0	1.0	3.0	7.0	11.0	29.0
indus	214	0.0	1.0	1.0	2.0	4.0	8.8	13.7	18.0	31.2
inputtracer	2045	0.0	0.0	0.0	0.0	0.0	2.0	11.0	27.8	135.6
jastadd	59	0.0	1.0	1.0	2.0	6.0	16.0	32.6	83.6	157.1
sourcemeter	143	0.4	1.0	1.0	2.0	3.0	5.0	6.0	8.9	13.6
srcml	871	0.0	0.0	0.0	0.0	1.0	3.0	10.0	19.0	42.2
tacle	34	0.3	1.0	1.3	4.0	8.0	15.2	25.4	28.4	37.0
wala	2626	0.0	0.0	1.0	2.0	4.0	8.0	15.0	23.0	45.5

Tabela 4.14 percentis da métrica nom

	classes	1%	5%	10%	25%	50%	75%	90%	95%	99%
accessanalysis	91	0.0	0.0	0.0	0.0	0.0	0.0	1.0	2.5	5.1
bakarali	611	0.0	0.0	0.0	0.0	0.0	0.0	0.0	0.0	2.0
errorprone	1703	0.0	0.0	0.0	0.0	0.0	0.0	0.0	1.0	3.0
indus	214	0.0	0.0	0.0	0.0	0.0	0.0	1.0	1.0	6.7
inputtracer	2045	0.0	0.0	0.0	0.0	2.0	4.0	8.0	13.8	50.0
jastadd	59	0.0	0.0	0.0	0.0	0.0	0.0	1.0	2.2	6.3
sourcemeter	143	0.0	0.0	0.0	0.0	0.0	1.0	4.6	26.6	130.7
srcml	871	0.0	0.0	0.0	0.0	0.0	1.0	2.0	4.0	14.6
tacle	34	0.0	0.0	0.0	0.0	0.0	0.0	0.0	0.0	0.7
wala	2626	0.0	0.0	0.0	0.0	0.0	0.0	1.0	2.8	10.0

Tabela 4.15 percentis da métrica npa

	classes	1%	5%	10%	25%	50%	75%	90%	95%	99%
accessanalysis	91	0.0	0.0	0.0	1.0	1.0	4.0	10.0	17.5	24.9
bakarali	611	1.0	2.0	2.0	3.0	8.0	10.0	12.0	14.0	20.0
errorprone	1703	0.0	0.0	0.0	0.0	1.0	3.0	6.0	9.0	28.0
indus	214	0.0	0.0	1.0	1.0	3.0	6.0	11.0	13.3	23.7
inputtracer	2045	0.0	0.0	0.0	0.0	0.0	2.0	11.0	27.8	135.6
jastadd	59	0.0	0.9	1.0	2.0	5.0	11.0	29.4	79.1	157.1
sourcemeter	143	0.0	1.0	1.0	2.0	2.0	3.0	5.0	6.9	11.7
srcml	871	0.0	0.0	0.0	0.0	1.0	3.0	9.0	13.0	34.3
tacle	34	0.3	1.0	1.0	3.0	7.0	12.8	20.7	23.3	30.7
wala	2626	0.0	0.0	1.0	1.0	3.0	6.0	12.0	18.0	36.0

Tabela 4.16 percentis da métrica npm

	classes	1%	5%	10%	25%	50%	75%	90%	95%	99%
accessanalysis	91	0.0	0.0	0.0	2.0	5.0	11.5	27.0	46.5	72.6
bakarali	611	1.0	2.0	2.0	4.0	8.0	10.0	12.0	14.0	20.0
errorprone	1703	0.0	0.0	0.0	0.0	2.0	6.0	13.0	25.0	61.0
indus	214	0.0	1.0	1.0	2.0	7.0	20.0	38.7	48.0	106.0
inputtracer	2045	0.0	0.0	0.0	0.0	0.0	8.0	47.6	145.0	647.6
jastadd	59	0.0	1.0	1.0	3.0	12.0	34.0	73.4	206.1	344.6
sourcemeter	143	0.4	1.0	2.0	3.0	7.0	17.5	35.6	51.3	200.3
srcml	871	0.0	0.0	0.0	0.0	1.0	9.0	27.0	41.5	177.4
tacle	34	0.3	1.7	2.0	5.5	21.5	56.8	82.1	112.4	169.9
wala	2626	0.0	0.0	1.0	2.0	8.0	20.0	46.0	79.8	198.8

Tabela 4.17 percentis da métrica rfc

	classes	1%	5%	10%	25%	50%	75%	90%	95%	99%
accessanalysis	91	0.0	0.0	0.0	4.0	8.0	20.0	54.0	114.0	163.8
bakarali	611	8.0	16.0	16.0	17.0	64.0	80.0	96.0	112.0	144.0
errorprone	1703	0.0	0.0	0.0	0.0	165.0	417.5	844.8	1348.2	4113.8
indus	214	0.0	4.7	20.0	36.0	62.0	120.0	298.2	370.2	668.7
inputtracer	2045	0.0	0.0	0.0	0.0	0.0	539.0	1348.0	3413.6	18666.0
jastadd	59	0.0	7.0	7.0	16.0	34.0	102.0	211.2	492.0	1014.2
sourcemeter	143	0.0	7.2	16.4	34.5	56.0	96.0	117.0	147.2	195.0
srcml	871	0.0	0.0	0.0	0.0	17.0	297.5	1008.0	1800.0	4654.1
tacle	34	0.0	0.0	0.0	5.2	18.0	45.8	68.1	87.4	100.7
wala	2626	0.0	0.0	53.0	391.0	998.0	2477.5	5059.0	8087.5	18411.5

Tabela 4.18 percentis da métrica sc

4.3.2 Métricas para as ferramentas da indústria

	classes	1%	5%	10%	25%	50%	75%	90%	95%	99%
boon	12	0.0	0.0	0.0	0.0	0.5	3.2	4.9	5.9	6.8
clang	579	0.0	0.0	0.0	0.0	0.0	1.0	3.0	9.0	44.2
closure	35	0.0	0.0	0.0	0.0	0.0	0.0	0.0	1.9	4.0
cppcheck	338	0.0	0.0	0.0	0.0	0.0	2.0	18.0	51.7	264.5
cqual	78	0.0	0.0	0.0	0.0	3.0	24.0	85.7	110.0	187.6
findbugs	1486	0.0	0.0	0.0	0.0	0.0	3.0	11.0	21.8	129.5
findsecuritybugs	91	0.0	0.0	0.0	0.0	0.0	0.0	5.0	15.5	27.2
jlint	3	0.0	0.2	0.4	1.0	2.0	4.0	5.2	5.6	5.9
pixy	229	0.0	0.0	0.0	0.0	1.0	6.0	18.0	38.8	80.9
pmd	1340	0.0	0.0	0.0	0.0	0.0	2.0	9.0	19.0	82.6
rats	19	0.0	0.0	0.0	0.0	0.0	8.0	13.4	15.1	15.8
smatch	483	0.0	0.0	0.0	0.0	0.0	1.0	19.0	93.9	326.7
splint	681	0.0	0.0	0.0	0.0	0.0	7.0	34.0	96.0	544.6
uno	19	0.0	0.0	0.0	1.0	4.0	34.0	95.4	129.4	132.3
wap	338	0.0	0.0	0.0	0.0	0.0	0.0	4.0	17.1	45.8

Tabela 4.19 percentis da métrica acc

	classes	1%	5%	10%	25%	50%	75%	90%	95%	99%
boon	12	0.1	0.6	1.0	1.4	4.1	5.4	7.3	8.0	8.5
clang	579	0.0	0.0	0.0	1.0	1.0	1.4	3.0	4.1	7.7
closure	35	0.0	0.0	0.0	0.0	0.0	1.0	1.6	2.3	5.0
cppcheck	338	0.0	0.0	0.0	1.0	1.2	3.0	6.8	9.4	17.3
cqual	78	0.0	0.0	1.0	1.0	1.2	2.6	6.3	8.7	38.4
findbugs	1486	0.0	0.0	1.0	1.0	1.3	2.5	4.8	7.0	12.4
findsecuritybugs	91	1.0	1.0	1.0	1.3	2.0	3.0	4.2	5.8	7.9
jlint	3	15.2	15.2	15.3	15.5	15.9	160.5	247.2	276.1	299.2
pixy	229	0.0	0.0	1.0	1.0	1.5	2.0	4.1	5.5	9.1
pmd	1340	0.0	1.0	1.0	1.0	1.0	1.9	3.0	4.0	7.0
rats	19	0.0	0.0	0.0	0.0	4.9	5.5	8.8	9.4	10.2
smatch	483	0.0	0.0	0.2	1.0	1.8	3.2	4.5	6.1	10.7
splint	681	0.0	0.0	1.0	1.0	1.0	2.0	4.0	6.0	15.0
uno	19	0.0	0.0	0.8	1.0	4.7	6.9	8.2	11.5	18.1
wap	338	1.0	1.0	1.0	1.0	1.0	1.0	2.0	5.6	23.9

Tabela 4.20 percentis da métrica accm

	classes	1%	5%	10%	25%	50%	75%	90%	95%	99%
boon	12	0.4	2.2	4.0	5.6	18.3	31.1	38.8	43.2	46.9
clang	579	0.0	0.0	0.0	1.0	1.7	9.3	21.4	29.1	56.0
closure	35	0.0	0.0	0.0	0.0	0.0	1.0	4.0	7.8	17.3
cppcheck	338	0.0	0.0	0.0	4.0	9.6	20.9	30.9	45.5	83.0
cqual	78	0.0	0.0	1.0	4.2	9.2	18.6	48.6	86.2	234.9
findbugs	1486	0.0	0.0	1.0	3.0	6.0	12.3	21.7	30.0	59.9
findsecuritybugs	91	2.8	3.0	3.2	5.3	7.5	12.8	21.4	26.8	53.0
jlint	3	11.8	15.2	19.4	31.9	52.8	69.5	79.5	82.8	85.5
pixy	229	0.0	0.0	1.3	3.7	7.0	15.0	28.7	39.5	64.7
pmd	1340	0.0	1.0	3.0	3.0	4.6	9.6	16.0	22.0	37.9
rats	19	0.0	0.0	0.0	0.0	23.2	33.5	50.2	57.8	60.1
smatch	483	0.0	0.0	0.2	4.6	9.0	14.9	22.4	26.0	51.2
splint	681	0.0	0.0	1.0	4.5	9.0	15.0	28.0	42.7	129.6
uno	19	0.0	0.0	0.8	12.0	27.5	36.9	62.1	87.4	214.3
wap	338	1.0	1.0	1.0	1.0	1.0	7.0	27.9	119.7	642.3

Tabela 4.21 percentis da métrica amloc

	classes	1%	5%	10%	25%	50%	75%	90%	95%	99%
boon	12	0.1	0.4	0.8	1.0	1.4	2.0	2.0	2.1	2.3
clang	579	0.0	0.0	0.0	0.0	0.6	1.3	2.0	2.4	3.1
closure	35	0.0	0.0	0.0	0.0	0.0	0.0	2.0	2.0	2.0
cppcheck	338	0.0	0.0	0.0	0.0	0.6	1.3	2.0	2.4	3.0
cqual	78	0.0	0.0	0.9	1.0	1.6	2.0	2.4	2.8	4.8
findbugs	1486	0.0	0.0	0.0	0.5	1.0	1.3	2.0	2.3	4.0
findsecuritybugs	91	0.4	0.5	0.6	0.7	1.0	1.0	1.8	2.1	3.0
jlint	3	1.2	1.2	1.3	1.4	1.7	2.1	2.3	2.4	2.5
pixy	229	0.0	0.0	0.1	0.5	1.0	1.5	2.0	3.0	3.6
pmd	1340	0.0	0.0	0.0	0.2	1.0	1.5	2.0	2.0	3.1
rats	19	0.0	0.0	0.0	0.0	1.2	1.5	1.7	1.8	1.8
smatch	483	0.0	0.0	0.1	1.0	1.0	1.7	2.0	2.2	3.0
splint	681	0.0	0.0	0.5	1.0	1.0	1.4	2.0	2.2	3.9
uno	19	0.0	0.0	0.8	1.2	1.5	1.7	2.0	2.0	2.1
wap	338	0.0	0.0	0.0	0.0	0.0	0.7	1.0	2.8	7.6

Tabela 4.22 percentis da métrica anpm

	classes	1%	5%	10%	25%	50%	75%	90%	95%	99%
boon	12	0.0	0.0	0.0	0.0	2.5	5.2	6.0	6.0	6.0
clang	579	10.0	21.8	35.8	60.0	94.0	125.0	139.0	140.0	145.0
closure	35	0.0	0.0	0.0	1.0	2.0	2.0	2.0	2.0	2.0
cppcheck	338	17.4	25.0	31.0	62.8	93.0	114.0	140.0	145.0	150.0
cqual	78	0.0	0.8	1.0	8.0	40.0	46.0	51.0	51.3	53.0
findbugs	1486	8.8	66.0	114.0	253.0	393.0	506.0	554.0	562.8	570.0
findsecuritybugs	91	0.0	0.0	0.0	3.0	5.0	10.0	15.0	15.0	16.0
jlint	3	0.0	0.1	0.2	0.5	1.0	1.5	1.8	1.9	2.0
pixy	229	17.0	36.4	42.8	68.0	81.0	89.0	108.0	115.0	117.0
pmd	1340	24.8	61.0	95.0	162.0	266.0	338.0	378.0	389.0	400.0
rats	19	0.7	3.6	4.0	5.5	6.0	8.0	8.0	8.0	8.0
smatch	483	16.0	44.1	49.0	68.0	109.0	116.0	122.0	123.0	123.0
splint	681	0.0	192.0	220.0	277.0	300.0	317.0	320.0	321.0	322.0
uno	19	3.0	3.0	3.0	3.5	7.0	12.5	14.0	14.0	14.0
wap	338	29.5	35.0	35.0	36.0	36.0	37.0	43.0	44.1	50.6

Tabela 4.23 percentis da métrica cbo

	classes	1%	5%	10%	25%	50%	75%	90%	95%	99%
boon	12	0.0	0.0	0.0	0.0	0.0	0.0	0.0	0.0	0.0
clang	579	0.0	0.0	0.0	0.0	0.0	0.0	1.0	2.0	2.0
closure	35	0.0	0.0	0.0	0.0	0.0	0.0	0.6	1.0	1.0
cppcheck	338	0.0	0.0	0.0	0.0	0.0	1.0	2.0	2.0	2.0
cqual	78	0.0	0.0	0.0	0.0	0.0	0.0	0.0	0.0	0.0
findbugs	1486	0.0	0.0	0.0	0.0	1.0	2.0	4.0	6.0	7.0
findsecuritybugs	91	0.0	0.0	0.0	1.0	1.0	1.0	5.0	5.0	5.0
jlint	3	0.0	0.0	0.0	0.0	0.0	0.0	0.0	0.0	0.0
pixy	229	0.0	0.0	0.0	0.0	1.0	1.0	1.0	2.0	2.0
pmd	1340	0.0	0.0	0.0	0.0	1.0	4.0	4.0	5.0	6.0
rats	19	0.0	0.0	0.0	0.0	0.0	0.0	0.0	0.0	0.0
smatch	483	0.0	0.0	0.0	0.0	0.0	0.0	0.0	0.0	0.0
splint	681	0.0	0.0	0.0	0.0	0.0	0.0	0.0	0.0	0.0
uno	19	0.0	0.0	0.0	0.0	0.0	0.0	0.0	0.0	0.0
wap	338	0.0	0.0	1.0	1.0	1.0	1.0	1.0	1.0	3.0

Tabela 4.24 percentis da métrica dit

	classes	1%	5%	10%	25%	50%	75%	90%	95%	99%
boon	12	0.1	0.6	1.0	1.0	1.0	1.0	2.8	3.4	3.9
clang	579	0.0	0.0	0.0	1.0	1.0	3.0	5.0	8.0	16.4
closure	35	0.0	0.0	0.0	0.0	0.0	1.0	1.0	1.3	2.0
cppcheck	338	0.0	0.0	0.0	1.0	2.0	5.0	9.0	14.3	50.4
cqual	78	0.0	0.0	1.0	1.0	1.0	3.8	12.3	17.1	208.3
findbugs	1486	0.0	0.0	1.0	1.0	2.0	4.0	7.0	11.0	27.5
findsecuritybugs	91	1.0	1.0	1.0	1.0	2.0	2.0	2.0	2.5	6.5
jlint	3	1.0	1.0	1.0	1.0	1.0	2.0	2.6	2.8	3.0
pixy	229	0.0	0.0	1.0	1.0	3.0	4.0	7.2	11.0	21.2
pmd	1340	0.0	1.0	1.0	1.0	2.0	4.0	6.0	8.0	22.6
rats	19	0.0	0.0	0.0	0.0	1.0	26.0	49.4	51.1	51.8
smatch	483	0.0	0.0	0.2	1.0	1.0	2.0	4.0	7.0	31.2
splint	681	0.0	0.0	1.0	1.0	2.0	4.0	8.0	13.0	65.2
uno	19	0.0	0.0	0.8	1.0	2.0	3.0	6.0	6.0	6.0
wap	338	1.0	1.0	1.0	1.0	1.0	3.0	5.0	11.6	86.0

Tabela 4.25 percentis da métrica lcom4

	classes	1%	5%	10%	25%	50%	75%	90%	95%	99%
boon	12	0.4	2.2	4.2	8.2	59.0	139.0	403.0	1008.8	1573.8
clang	579	0.0	0.0	0.0	1.0	4.0	27.0	84.6	144.3	289.7
closure	35	0.0	0.0	0.0	0.0	0.0	1.0	4.4	7.8	17.3
cppcheck	338	0.0	0.0	0.0	8.0	54.5	302.8	1102.6	2527.9	5240.0
cqual	78	0.0	0.0	4.5	9.0	49.0	327.5	1469.2	2425.2	3372.7
findbugs	1486	0.0	0.0	2.0	8.0	28.0	77.0	170.5	307.5	705.3
findsecuritybugs	91	2.8	3.5	6.0	12.5	20.0	52.5	90.0	139.0	294.7
jlint	3	40.5	114.6	207.2	485.0	948.0	1028.0	1076.0	1092.0	1104.8
pixy	229	0.0	0.0	4.0	14.0	32.0	86.0	275.2	551.4	1443.0
pmd	1340	0.0	1.0	3.0	9.0	17.0	50.0	108.0	170.2	383.3
rats	19	0.0	0.0	0.0	0.0	470.0	1437.0	1578.6	1597.8	1603.6
smatch	483	0.0	0.0	0.2	8.0	22.0	90.0	326.8	798.9	2029.1
splint	681	0.0	0.0	2.0	9.0	22.0	85.0	343.0	1047.0	4479.2
uno	19	0.0	0.0	3.2	173.5	639.0	1196.5	1703.0	1960.0	3752.8
wap	338	1.0	1.0	1.0	1.0	1.0	32.5	180.5	641.7	9333.0

Tabela 4.26 percentis da métrica loc

	classes	1%	5%	10%	25%	50%	75%	90%	95%	99%
boon	12	0.4	2.2	4.2	7.5	39.5	64.0	135.7	149.3	155.5
clang	579	0.0	0.0	0.0	1.0	3.0	19.0	44.2	69.2	123.9
closure	35	0.0	0.0	0.0	0.0	0.0	1.0	4.0	7.8	17.3
cppcheck	338	0.0	0.0	0.0	4.0	25.5	77.0	202.9	366.2	739.9
cqual	78	0.0	0.0	1.0	8.0	14.0	77.0	375.1	616.3	1055.5
findbugs	1486	0.0	0.0	1.0	3.0	11.0	32.0	67.5	104.0	247.3
findsecuritybugs	91	2.8	3.0	4.0	8.5	14.0	29.5	52.0	63.5	85.9
jlint	3	19.6	42.2	70.4	155.0	296.0	311.0	320.0	323.0	325.4
pixy	229	0.0	0.0	2.6	6.0	13.0	39.0	88.2	157.8	232.2
pmd	1340	0.0	1.0	3.0	3.0	7.0	18.0	36.0	55.0	108.6
rats	19	0.0	0.0	0.0	0.0	131.0	587.0	720.0	720.0	720.0
smatch	483	0.0	0.0	0.2	6.0	15.0	28.0	60.4	107.8	196.7
splint	681	0.0	0.0	1.0	6.0	13.0	28.0	84.0	273.0	777.2
uno	19	0.0	0.0	0.8	43.5	107.0	246.0	510.4	524.0	524.0
wap	338	1.0	1.0	1.0	1.0	1.0	11.0	86.6	404.4	2420.6

Tabela 4.27 percentis da métrica mmloc

	classes	1%	5%	10%	25%	50%	75%	90%	95%	99%
boon	12	0.0	0.0	0.0	0.8	2.5	5.8	8.9	22.9	36.6
clang	579	0.0	0.0	0.0	0.0	0.0	2.0	4.0	5.0	12.2
closure	35	0.0	0.0	0.0	0.0	0.0	0.0	0.0	0.0	2.0
cppcheck	338	0.0	0.0	0.0	0.0	1.0	3.0	6.3	9.1	20.5
cqual	78	0.0	0.0	0.0	0.0	2.5	15.8	70.3	90.1	268.4
findbugs	1486	0.0	0.0	0.0	0.0	1.0	3.0	7.0	11.0	25.2
findsecuritybugs	91	0.0	0.0	0.0	1.0	2.0	3.0	6.0	8.0	10.2
jlint	3	0.2	1.2	2.4	6.0	12.0	13.5	14.4	14.7	14.9
pixy	229	0.0	0.0	0.0	1.0	2.0	3.0	6.0	8.0	26.2
pmd	1340	0.0	0.0	0.0	0.0	1.0	2.0	4.1	7.0	17.0
rats	19	0.0	0.0	0.0	0.0	24.0	41.5	43.6	46.4	49.3
smatch	483	0.0	0.0	0.0	0.0	1.0	4.0	9.0	13.9	92.0
splint	681	0.0	0.0	0.0	0.0	1.0	4.0	9.0	20.0	98.6
uno	19	0.0	0.0	0.8	4.5	16.0	45.0	64.0	77.6	117.9
wap	338	0.0	0.0	0.0	0.0	0.0	0.0	0.0	1.0	331.7

Tabela 4.28 percentis da métrica noa

	classes	1%	5%	10%	25%	50%	75%	90%	95%	99%
boon	12	0.0	0.0	0.0	0.0	0.0	0.0	0.0	0.0	0.0
clang	579	0.0	0.0	0.0	0.0	0.0	0.0	0.0	0.0	2.4
closure	35	0.0	0.0	0.0	0.0	0.0	0.0	0.0	0.0	2.6
cppcheck	338	0.0	0.0	0.0	0.0	0.0	0.0	0.0	0.0	5.3
cqual	78	0.0	0.0	0.0	0.0	0.0	0.0	0.0	0.0	0.0
findbugs	1486	0.0	0.0	0.0	0.0	0.0	0.0	1.0	2.0	7.0
findsecuritybugs	91	0.0	0.0	0.0	0.0	0.0	0.0	0.0	1.0	3.0
jlint	3	0.0	0.0	0.0	0.0	0.0	0.0	0.0	0.0	0.0
pixy	229	0.0	0.0	0.0	0.0	0.0	0.0	0.0	2.0	5.7
pmd	1340	0.0	0.0	0.0	0.0	0.0	0.0	1.0	3.0	11.0
rats	19	0.0	0.0	0.0	0.0	0.0	0.0	0.0	0.0	0.0
smatch	483	0.0	0.0	0.0	0.0	0.0	0.0	0.0	0.0	0.0
splint	681	0.0	0.0	0.0	0.0	0.0	0.0	0.0	0.0	0.0
uno	19	0.0	0.0	0.0	0.0	0.0	0.0	0.0	0.0	0.0
wap	338	0.0	0.0	0.0	0.0	0.0	0.0	0.0	0.0	3.0

Tabela 4.29 percentis da métrica noc

	classes	1%	5%	10%	25%	50%	75%	90%	95%	99%
boon	12	0.1	0.6	1.0	1.8	2.0	5.8	8.9	44.1	78.4
clang	579	0.0	0.0	0.0	1.0	2.0	3.0	6.0	10.0	20.4
closure	35	0.0	0.0	0.0	0.0	0.0	1.0	1.0	1.3	2.0
cppcheck	338	0.0	0.0	0.0	1.0	6.0	17.0	36.3	92.9	177.5
cqual	78	0.0	0.0	1.0	1.0	4.5	20.8	77.3	105.8	256.0
findbugs	1486	0.0	0.0	1.0	2.0	4.0	7.0	15.0	23.0	59.5
findsecuritybugs	91	1.0	1.0	1.0	2.0	2.0	4.0	7.0	13.0	29.8
jlint	3	2.2	2.9	3.8	6.5	11.0	16.0	19.0	20.0	20.8
pixy	229	0.0	0.0	1.0	2.0	4.0	8.0	18.2	29.0	59.2
pmd	1340	0.0	1.0	1.0	2.0	3.0	6.0	12.0	20.0	46.6
rats	19	0.0	0.0	0.0	0.0	11.0	40.5	49.4	51.1	51.8
smatch	483	0.0	0.0	0.2	1.0	2.0	7.0	21.8	43.0	99.5
splint	681	0.0	0.0	1.0	1.0	3.0	8.0	20.0	43.0	178.4
uno	19	0.0	0.0	0.8	6.5	17.0	40.5	53.8	70.5	138.9
wap	338	1.0	1.0	1.0	1.0	1.0	3.0	5.0	17.1	86.0

Tabela 4.30 percentis da métrica nom

	classes	1%	5%	10%	25%	50%	75%	90%	95%	99%
boon	12	0.0	0.0	0.0	0.8	2.5	5.8	8.9	22.9	36.6
clang	579	0.0	0.0	0.0	0.0	0.0	1.0	2.0	4.0	7.4
closure	35	0.0	0.0	0.0	0.0	0.0	0.0	0.0	0.0	2.0
cppcheck	338	0.0	0.0	0.0	0.0	0.0	1.0	4.0	7.0	15.3
cqual	78	0.0	0.0	0.0	0.0	2.5	15.8	70.3	90.1	268.4
findbugs	1486	0.0	0.0	0.0	0.0	0.0	0.0	2.0	4.0	12.0
findsecuritybugs	91	0.0	0.0	0.0	0.0	0.0	0.0	0.0	1.0	4.1
jlint	3	0.2	1.2	2.4	6.0	12.0	13.5	14.4	14.7	14.9
pixy	229	0.0	0.0	0.0	0.0	0.0	0.0	0.0	1.6	8.3
pmd	1340	0.0	0.0	0.0	0.0	0.0	0.0	1.0	2.0	7.0
rats	19	0.0	0.0	0.0	0.0	24.0	41.5	43.6	46.4	49.3
smatch	483	0.0	0.0	0.0	0.0	1.0	4.0	9.0	13.9	92.0
splint	681	0.0	0.0	0.0	0.0	1.0	4.0	9.0	20.0	98.6
uno	19	0.0	0.0	0.8	4.5	16.0	45.0	64.0	77.6	117.9
wap	338	0.0	0.0	0.0	0.0	0.0	0.0	0.0	1.0	323.7

Tabela 4.31 percentis da métrica npa

	classes	1%	5%	10%	25%	50%	75%	90%	95%	99%
boon	12	0.1	0.6	1.0	1.8	2.0	5.8	8.9	44.1	78.4
clang	579	0.0	0.0	0.0	0.5	2.0	3.0	6.0	9.0	19.2
closure	35	0.0	0.0	0.0	0.0	0.0	1.0	1.0	1.3	2.0
cppcheck	338	0.0	0.0	0.0	1.0	2.0	8.0	15.0	22.1	50.6
cqual	78	0.0	0.0	1.0	1.0	4.5	20.8	77.3	105.8	256.0
findbugs	1486	0.0	0.0	1.0	2.0	3.0	6.0	13.0	18.0	54.0
findsecuritybugs	91	1.0	1.0	1.0	2.0	2.0	3.0	5.0	6.0	21.2
jlint	3	2.2	2.9	3.8	6.5	11.0	16.0	19.0	20.0	20.8
pixy	229	0.0	0.0	1.0	2.0	3.0	6.0	13.2	28.6	46.4
pmd	1340	0.0	1.0	1.0	1.0	3.0	5.0	10.0	16.0	45.6
rats	19	0.0	0.0	0.0	0.0	11.0	40.5	49.4	51.1	51.8
smatch	483	0.0	0.0	0.2	1.0	2.0	7.0	21.8	43.0	99.5
splint	681	0.0	0.0	1.0	1.0	3.0	8.0	20.0	43.0	178.4
uno	19	0.0	0.0	0.8	6.5	17.0	40.5	53.8	70.5	138.9
wap	338	1.0	1.0	1.0	1.0	1.0	3.0	5.0	17.0	84.0

Tabela 4.32 percentis da métrica npm

	classes	1%	5%	10%	25%	50%	75%	90%	95%	99%
boon	12	0.1	0.6	1.0	2.5	8.0	21.8	42.0	355.7	661.6
clang	579	0.0	0.0	0.0	1.0	3.0	9.0	16.0	26.1	66.7
closure	35	0.0	0.0	0.0	0.0	0.0	1.0	2.0	2.0	3.3
cppcheck	338	0.0	0.0	0.0	2.0	15.0	67.0	180.5	375.5	707.8
cqual	78	0.0	0.0	1.0	4.2	14.0	122.5	629.3	745.4	1043.4
findbugs	1486	0.0	0.0	1.0	3.0	8.0	24.0	52.0	88.8	202.8
findsecuritybugs	91	1.0	1.5	3.0	5.0	6.0	10.0	17.0	38.0	105.3
jlint	3	14.7	17.7	21.4	32.5	51.0	83.5	103.0	109.5	114.7
pixy	229	0.0	0.0	2.0	5.0	9.0	22.0	71.4	100.0	284.9
pmd	1340	0.0	1.0	2.0	3.0	7.0	18.0	39.0	68.0	139.0
rats	19	0.0	0.0	0.0	0.0	65.0	399.0	542.6	551.0	565.4
smatch	483	0.0	0.0	0.2	3.0	7.0	41.5	121.6	281.9	763.5
splint	681	0.0	0.0	1.0	3.0	7.0	28.0	104.0	267.0	1151.6
uno	19	0.0	0.0	0.8	27.5	93.0	304.0	522.2	742.5	1401.3
wap	338	1.0	1.0	1.0	1.0	1.0	3.0	16.3	100.0	185.1

Tabela 4.33 percentis da métrica rfc

	classes	1%	5%	10%	25%	50%	75%	90%	95%	99%
boon	12	0.0	0.0	0.0	0.0	1.5	5.2	14.1	19.0	23.0
clang	579	0.0	0.0	0.0	24.0	115.0	226.0	460.8	723.0	1678.3
closure	35	0.0	0.0	0.0	0.0	0.0	2.0	2.0	2.0	3.3
cppcheck	338	0.0	0.0	0.0	90.2	237.0	409.0	704.0	950.8	5293.0
cqual	78	0.0	0.0	0.0	1.0	46.0	140.8	558.9	816.0	7501.3
findbugs	1486	0.0	0.0	90.5	322.5	605.0	1243.5	2507.5	3923.5	10572.4
findsecuritybugs	91	0.0	0.0	0.0	3.0	9.0	15.0	22.0	30.0	70.5
jlint	3	0.0	0.2	0.4	1.0	2.0	2.5	2.8	2.9	3.0
pixy	229	0.0	0.0	40.0	82.0	185.0	351.0	533.6	788.4	1471.6
pmd	1340	0.0	51.0	124.0	266.0	411.0	836.0	1514.4	1976.2	4876.0
rats	19	0.0	0.0	0.0	0.0	8.0	155.0	296.4	306.6	310.9
smatch	483	0.0	0.0	2.6	75.5	113.0	123.0	320.4	541.6	2032.9
splint	681	0.0	0.0	0.0	311.0	322.0	939.0	1935.0	2900.0	8942.4
uno	19	0.0	0.0	2.4	5.5	13.0	23.0	32.4	46.2	76.4
wap	338	33.1	35.0	35.0	36.0	37.0	108.0	211.5	503.2	3064.2

Tabela 4.34 percentis da métrica sc

4.3.3 Gráficos das métricas para as ferramentas academicas

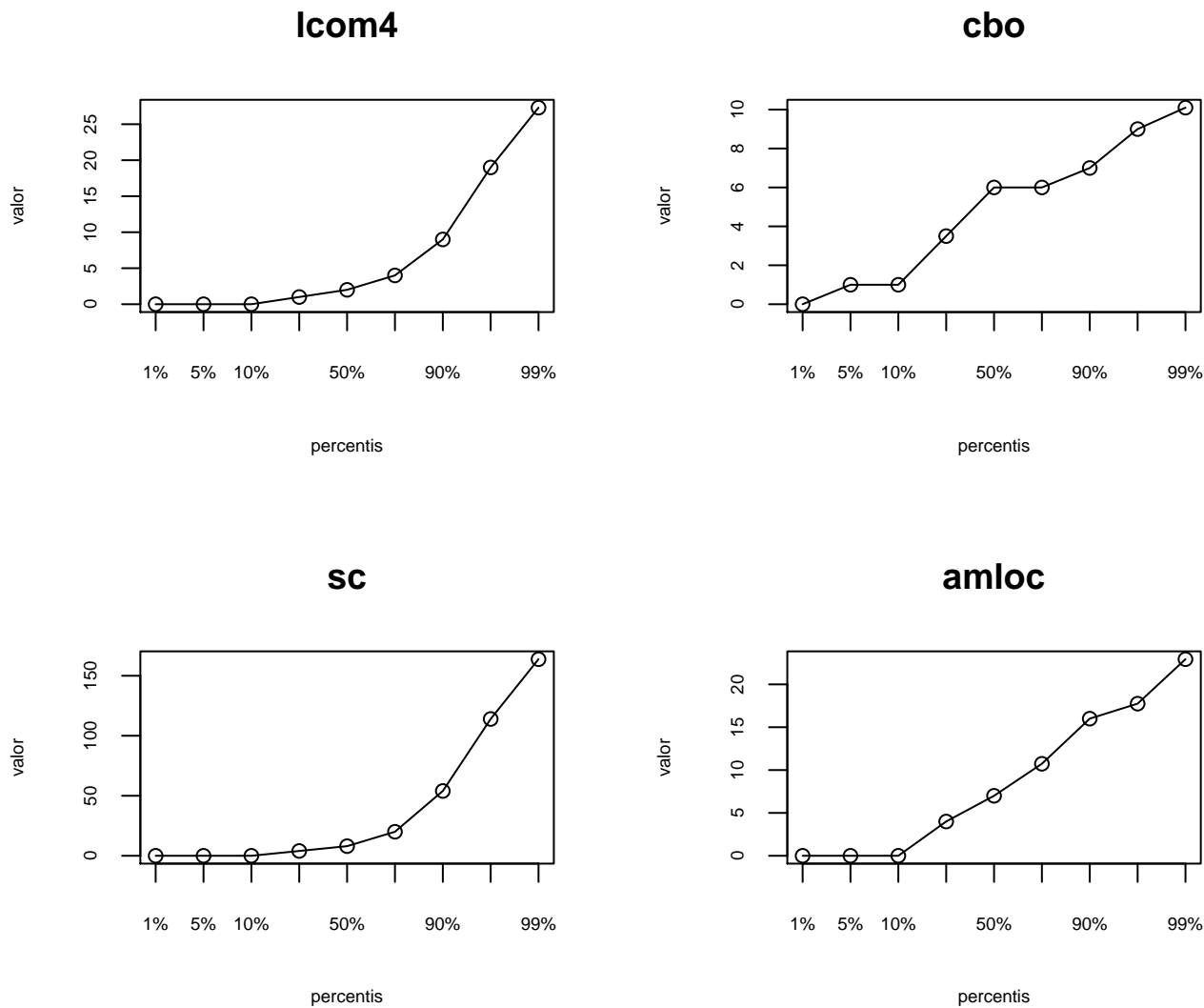


Figura 4.1 distribuição das métricas para a ferramenta accessanalysis

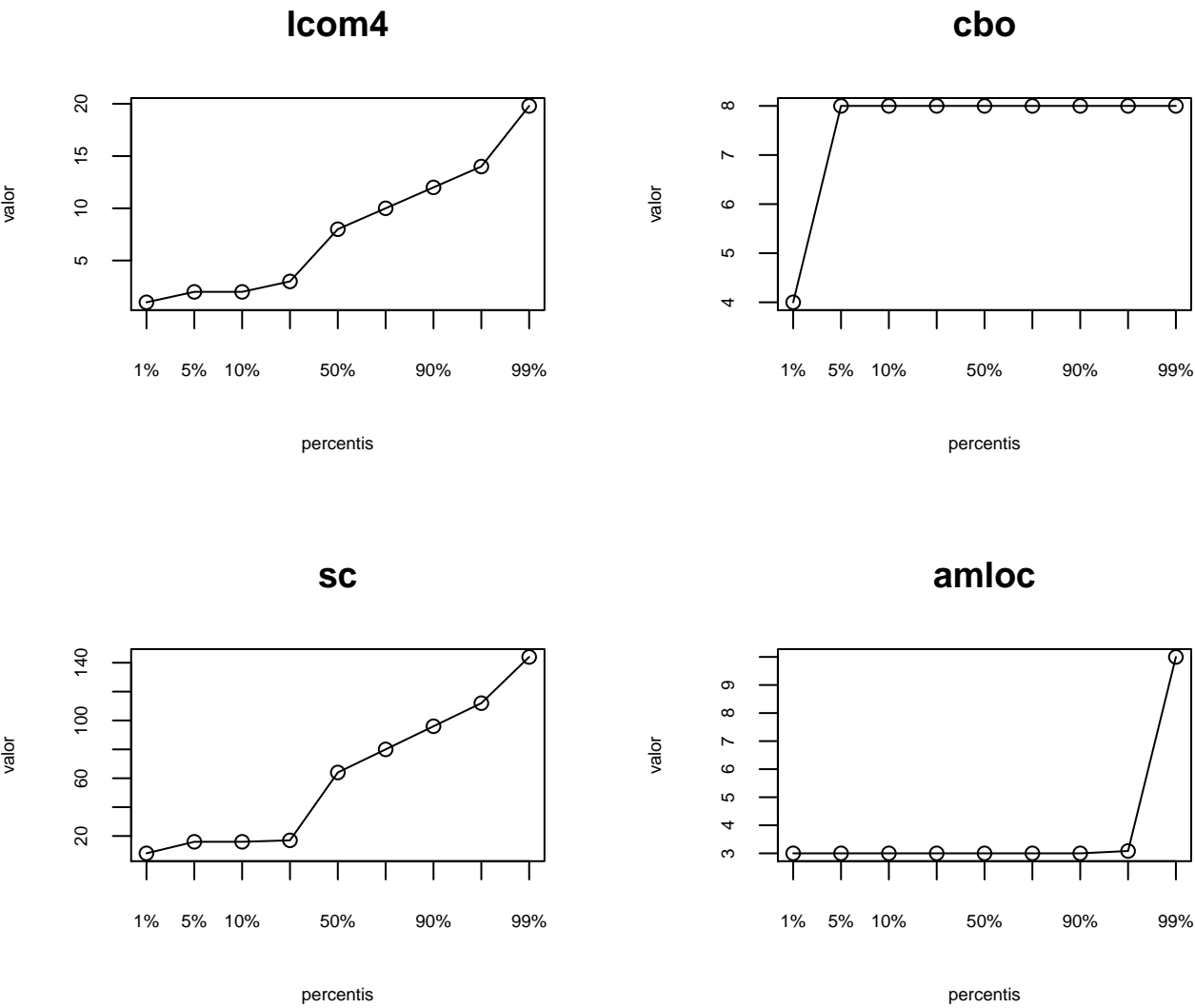


Figura 4.2 distribuição das métricas para a ferramenta bakar-ali

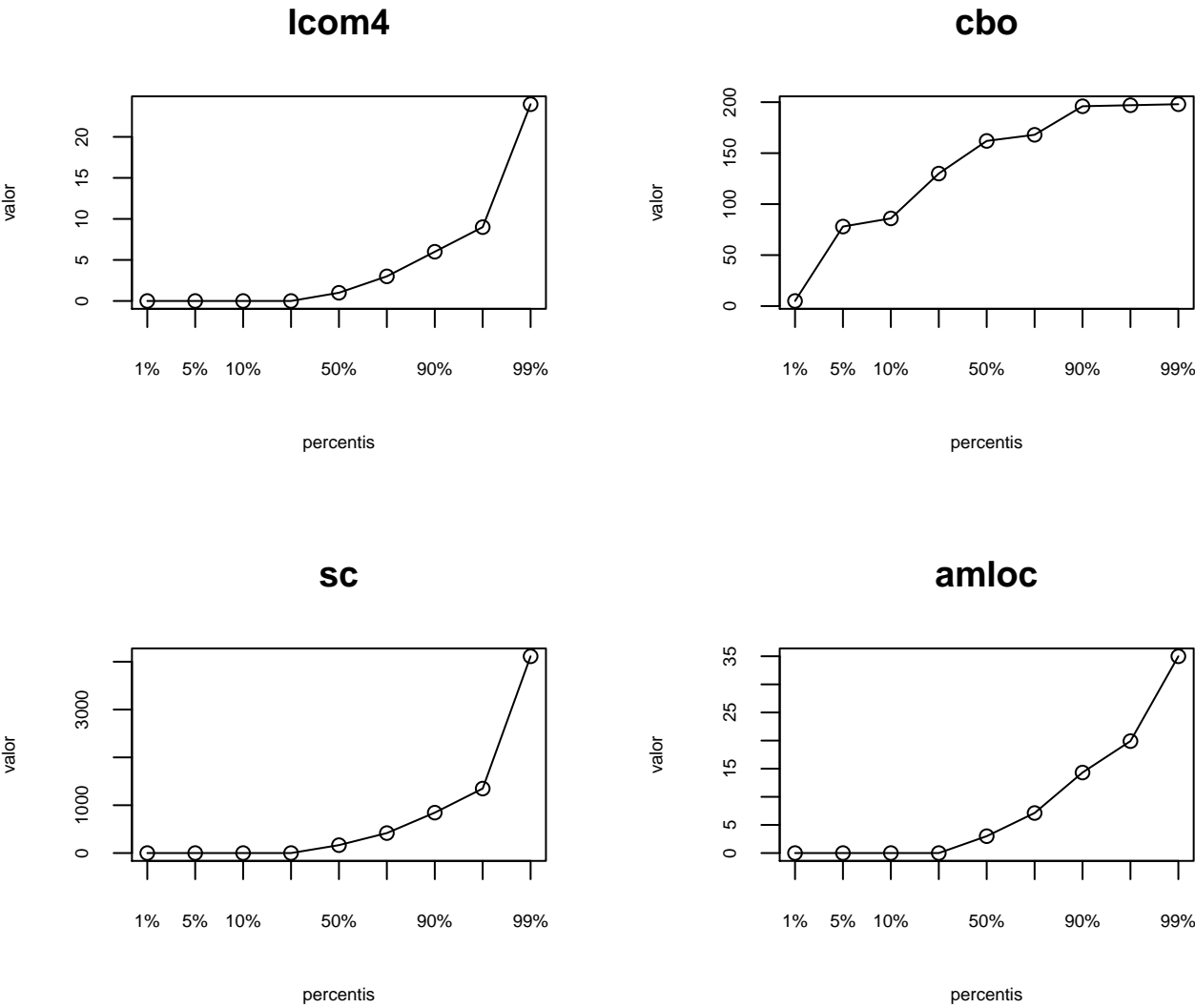


Figura 4.3 distribuição das métricas para a ferramenta error-prone

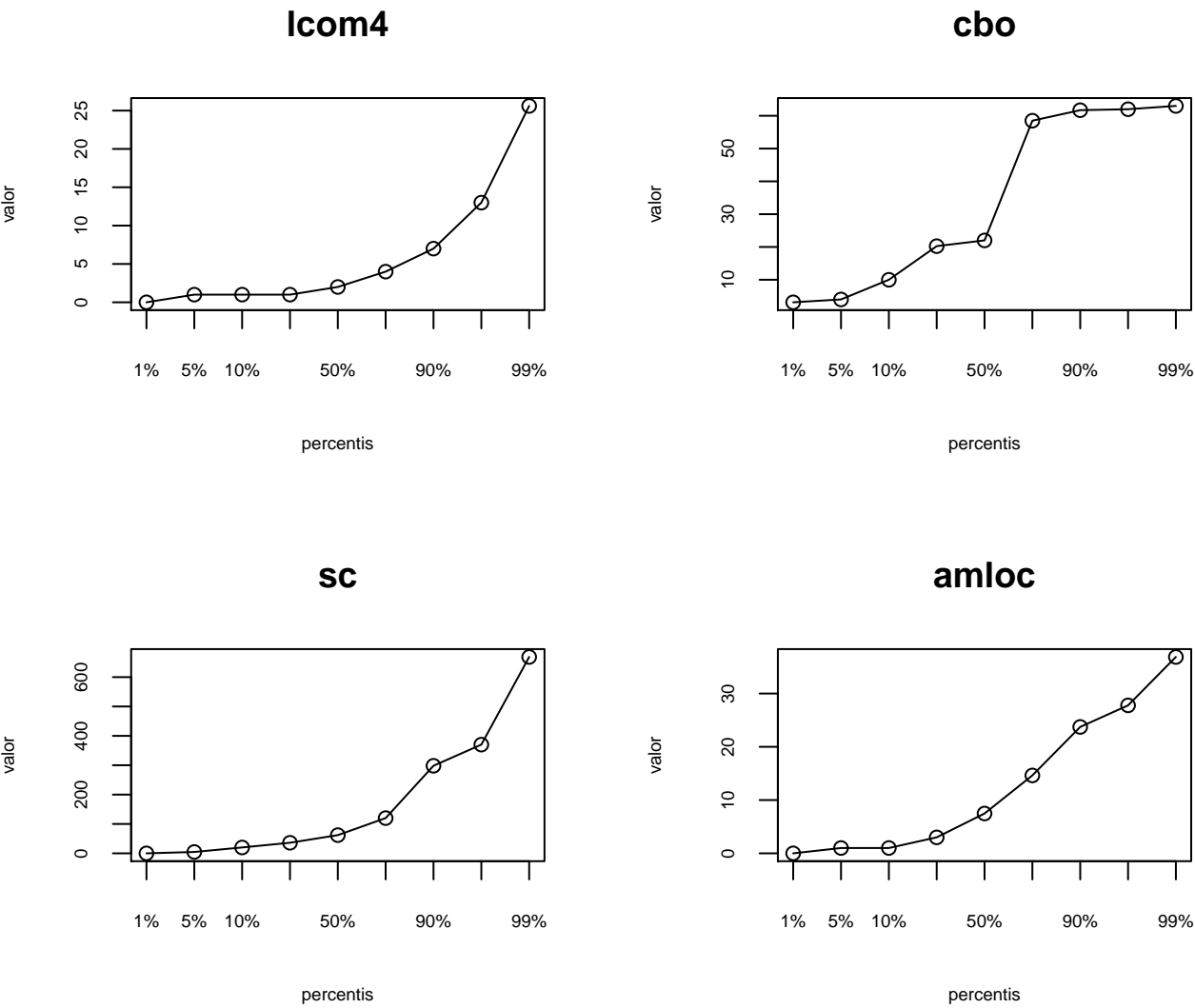


Figura 4.4 distribuição das métricas para a ferramenta indus

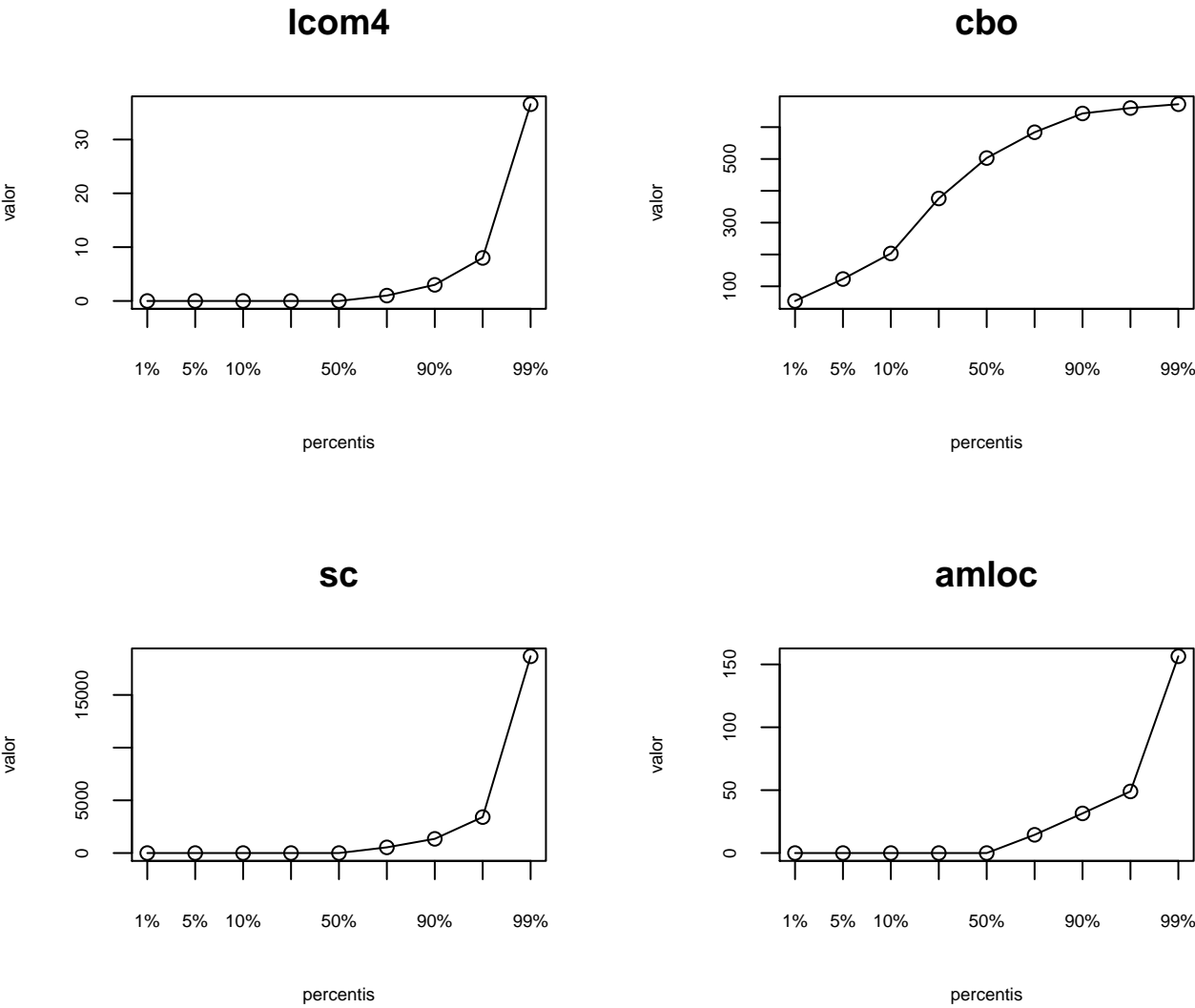


Figura 4.5 distribuição das métricas para a ferramenta inputtracer

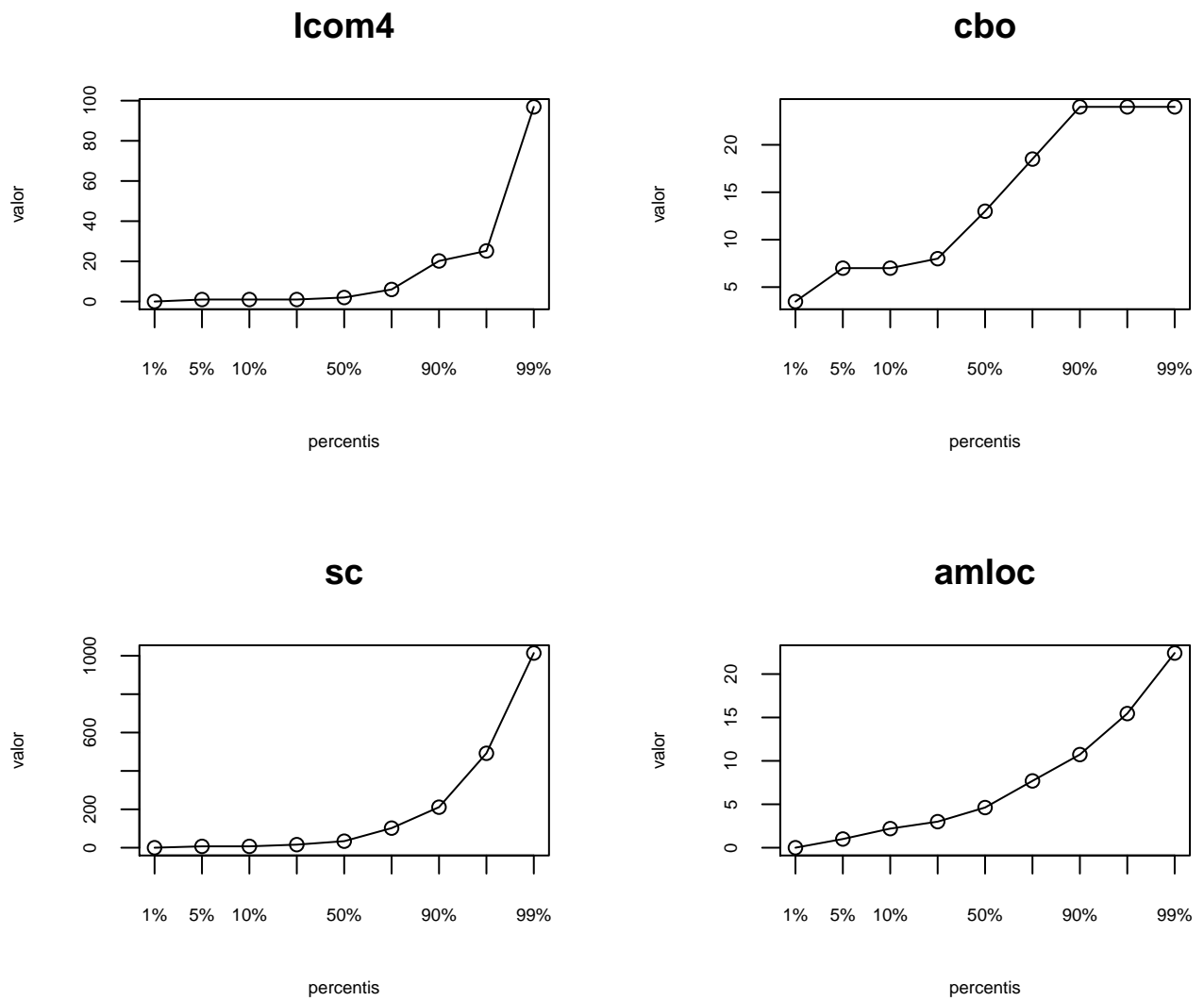


Figura 4.6 distribuição das métricas para a ferramenta jastadd

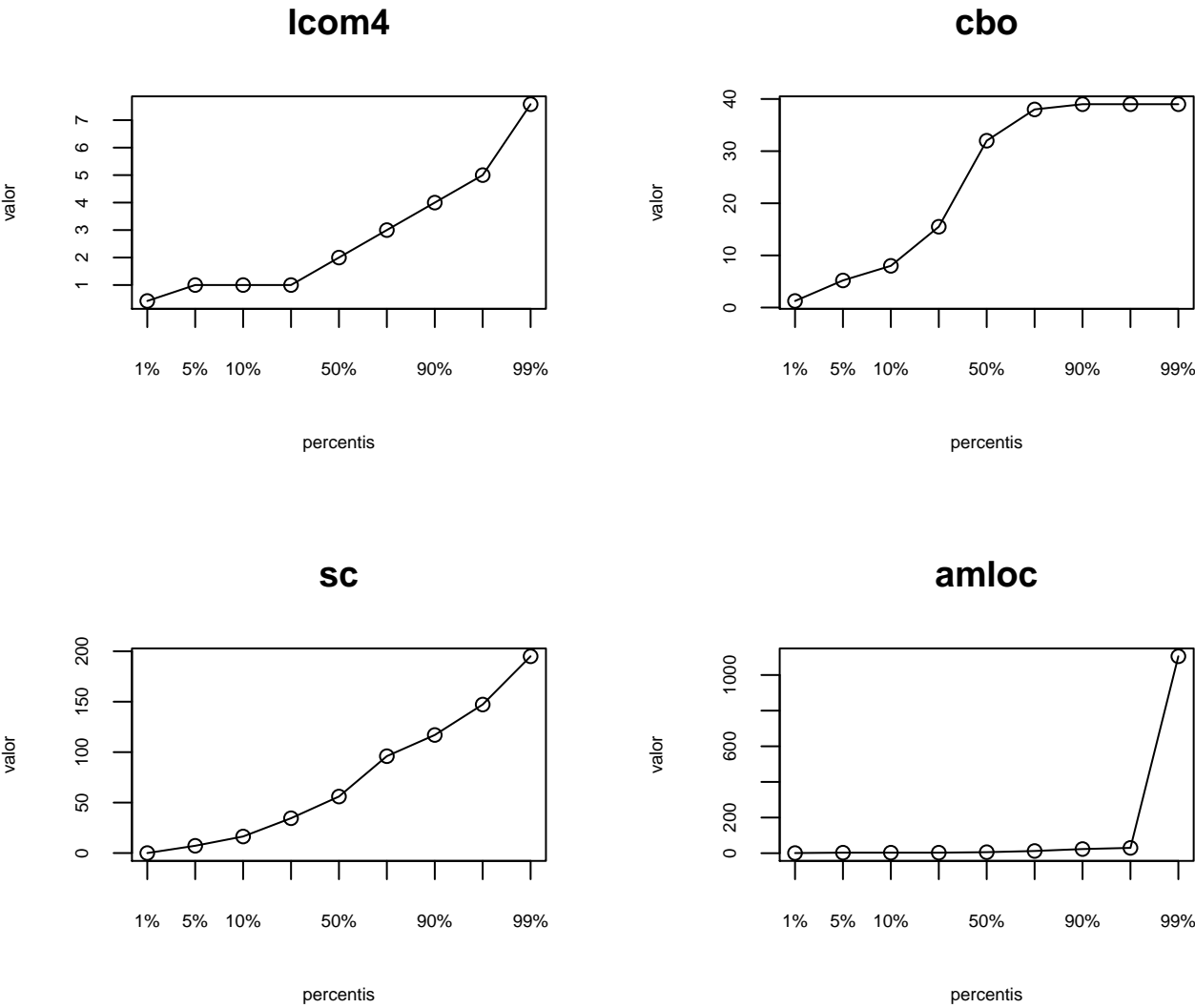


Figura 4.7 distribuição das métricas para a ferramenta source-meter

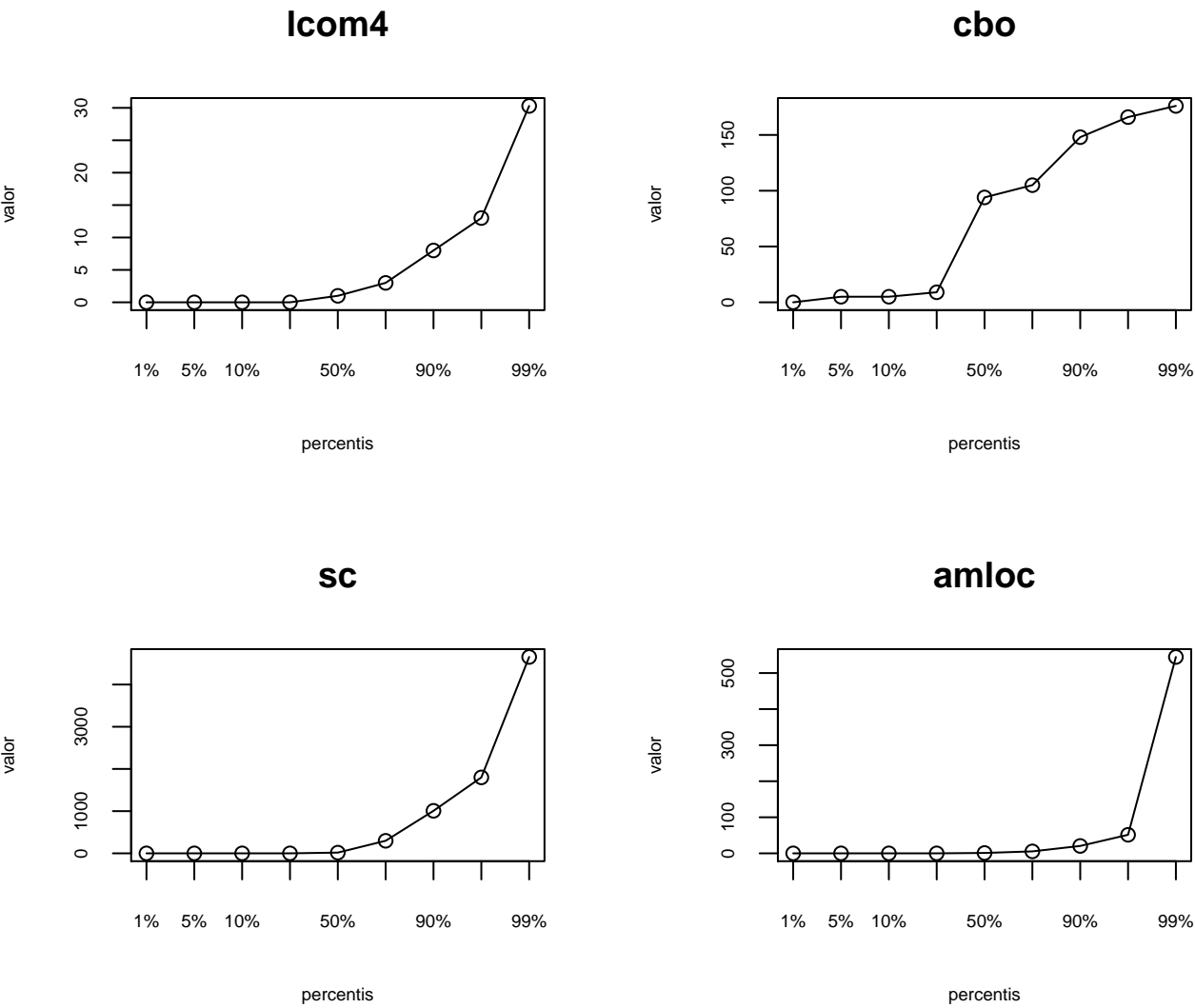


Figura 4.8 distribuição das métricas para a ferramenta srcml

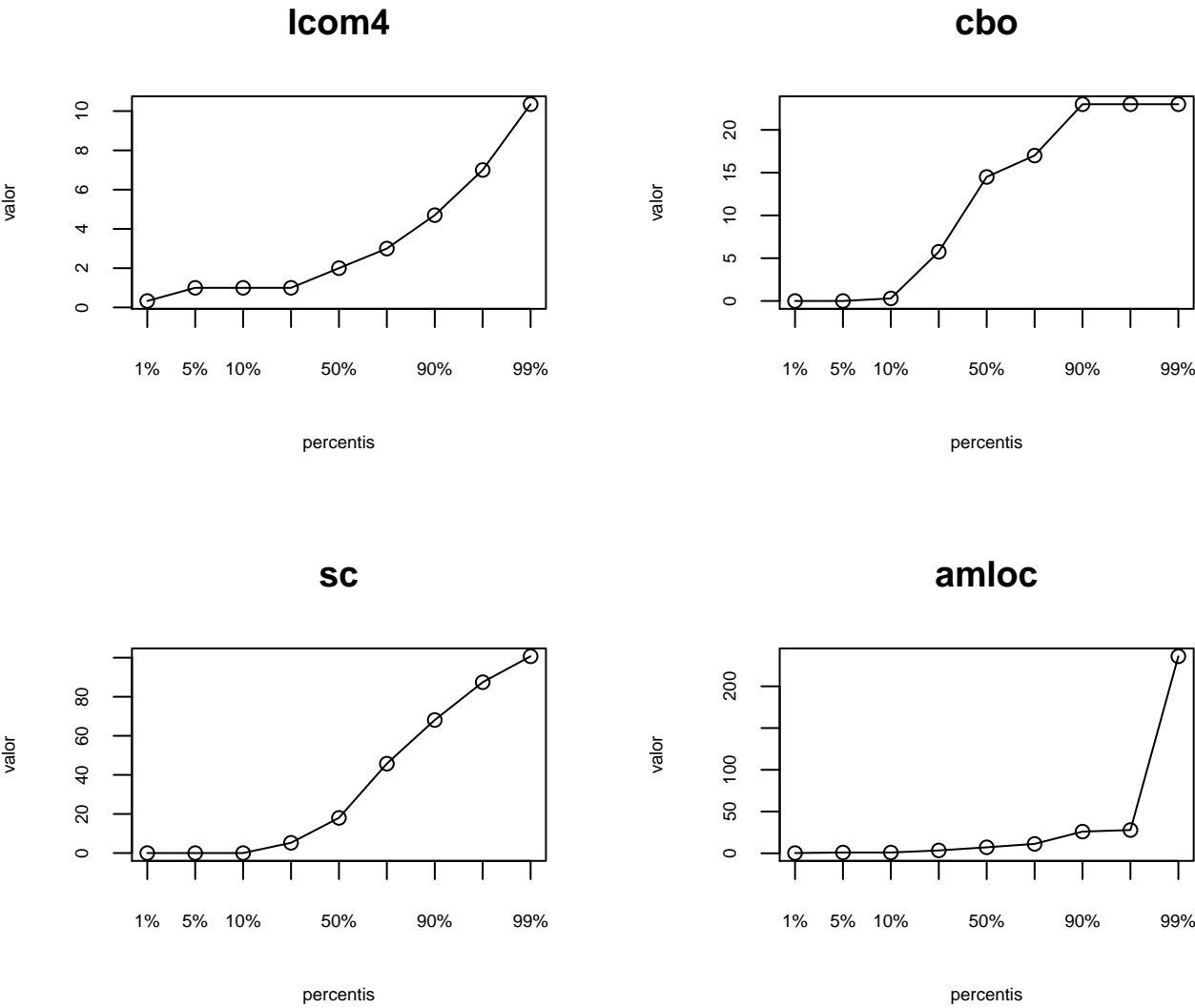


Figura 4.9 distribuição das métricas para a ferramenta tackle

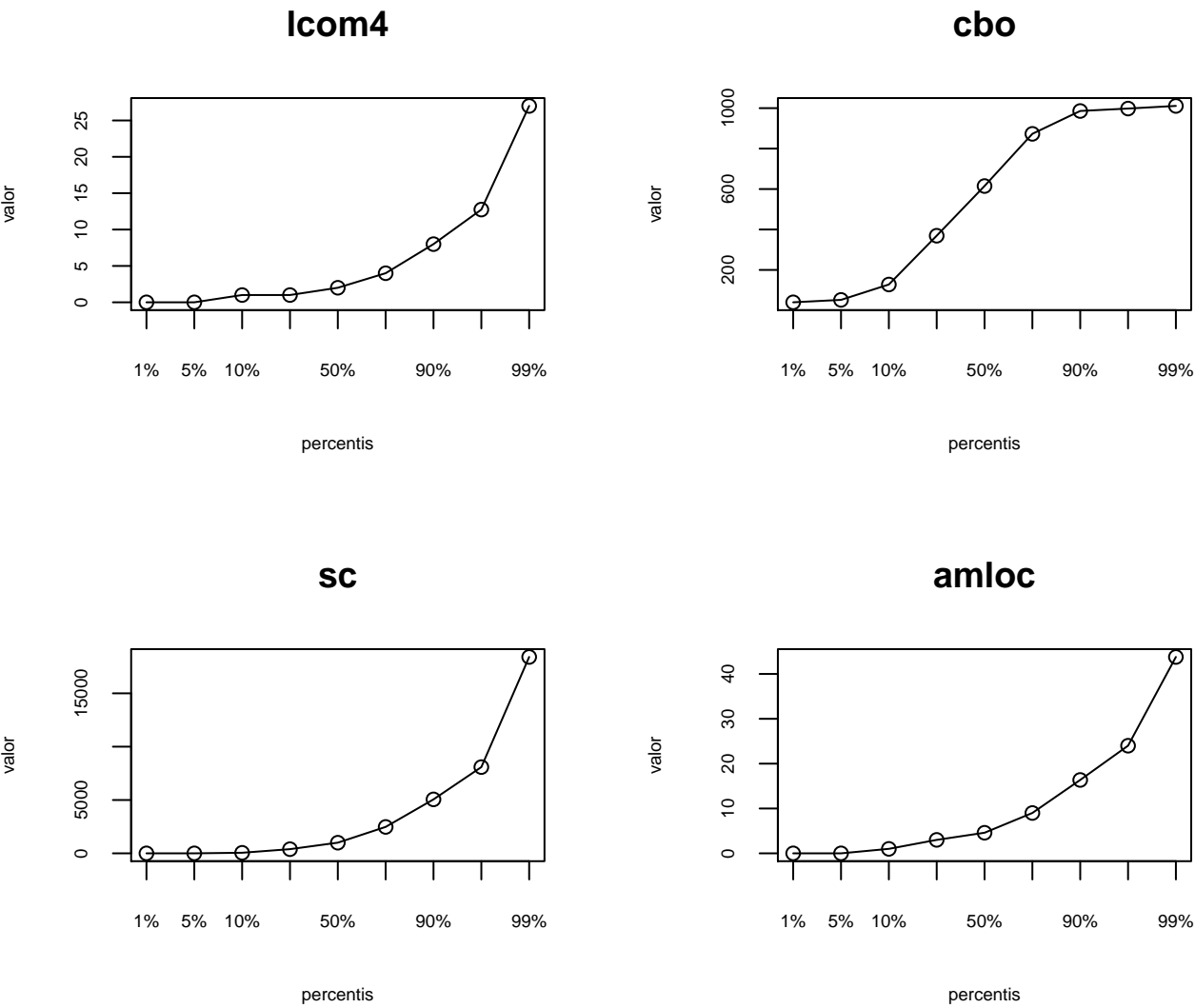


Figura 4.10 distribuição das métricas para a ferramenta wala

4.3.4 Gráficos das métricas para as ferramentas da indústria

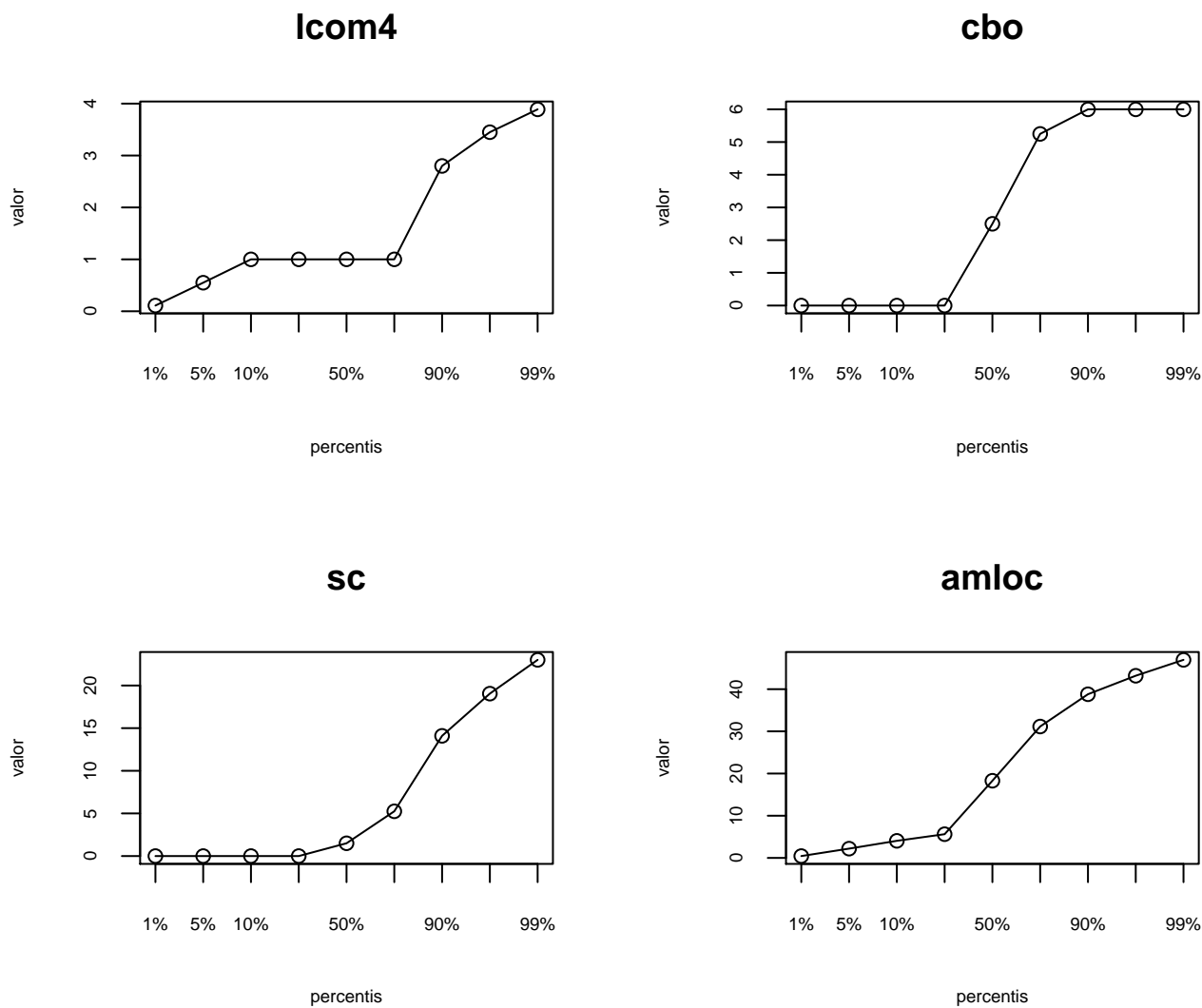


Figura 4.11 distribuição das métricas para a ferramenta boon

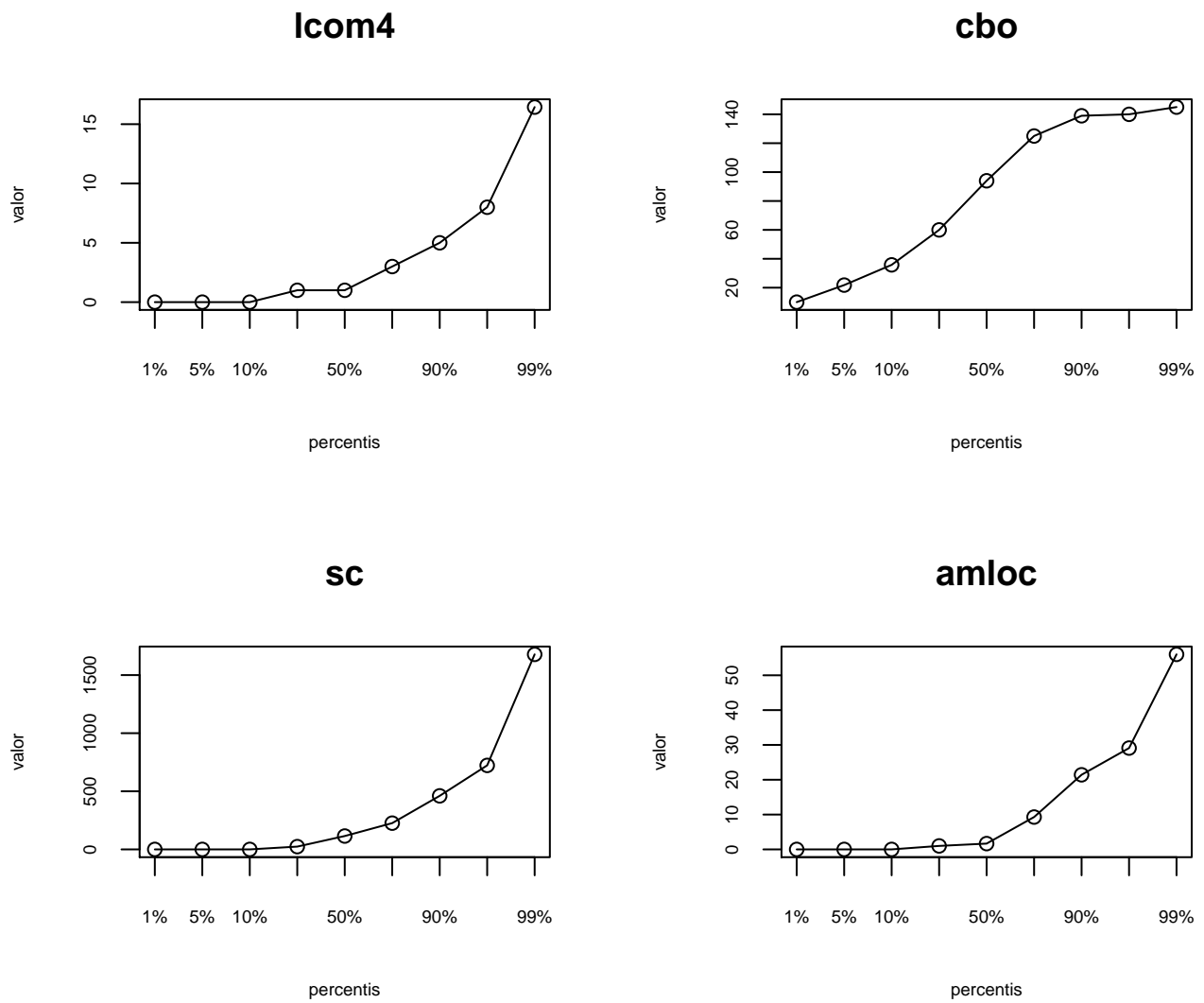


Figura 4.12 distribuição das métricas para a ferramenta clang

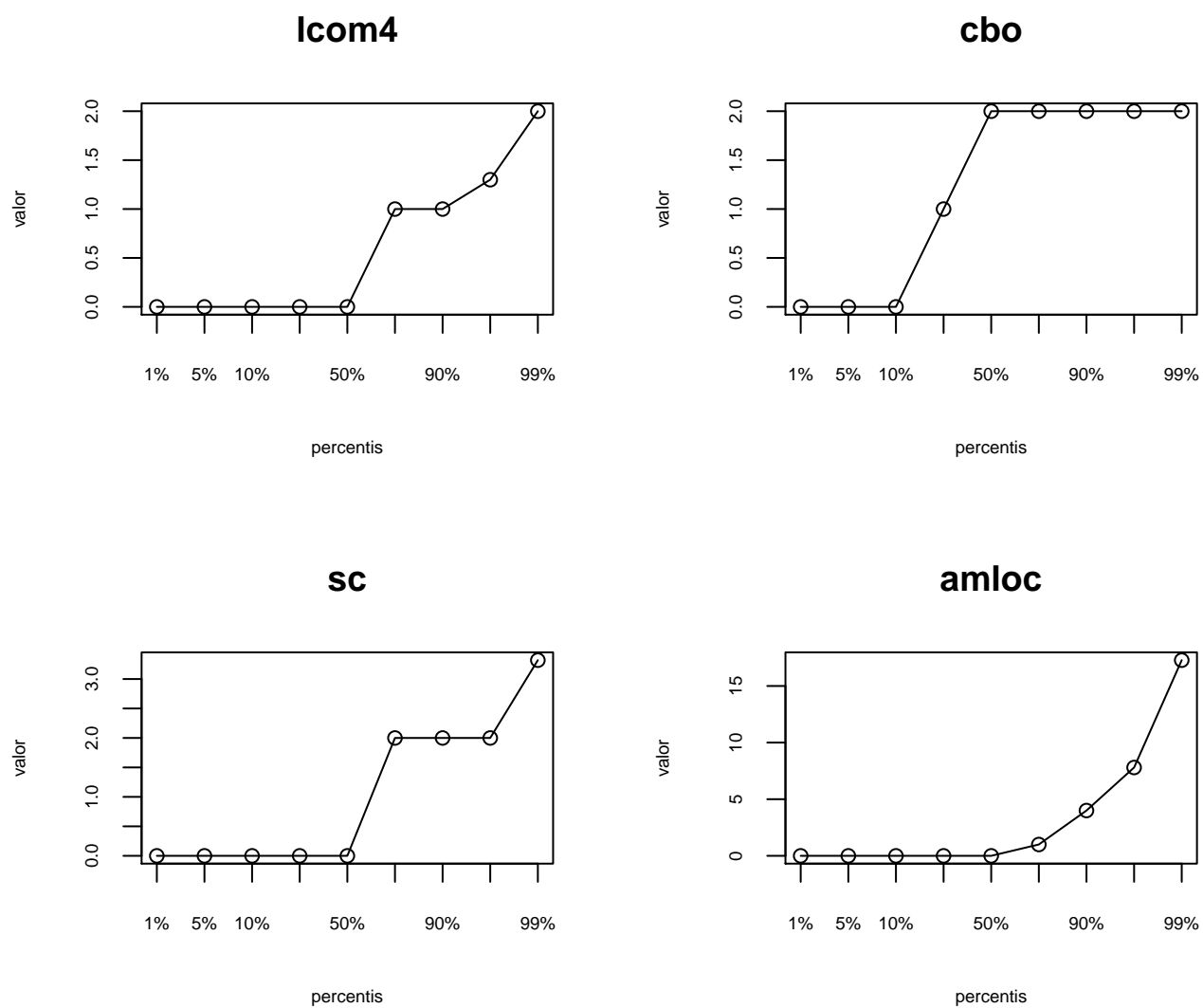


Figura 4.13 distribuição das métricas para a ferramenta closure-compiler

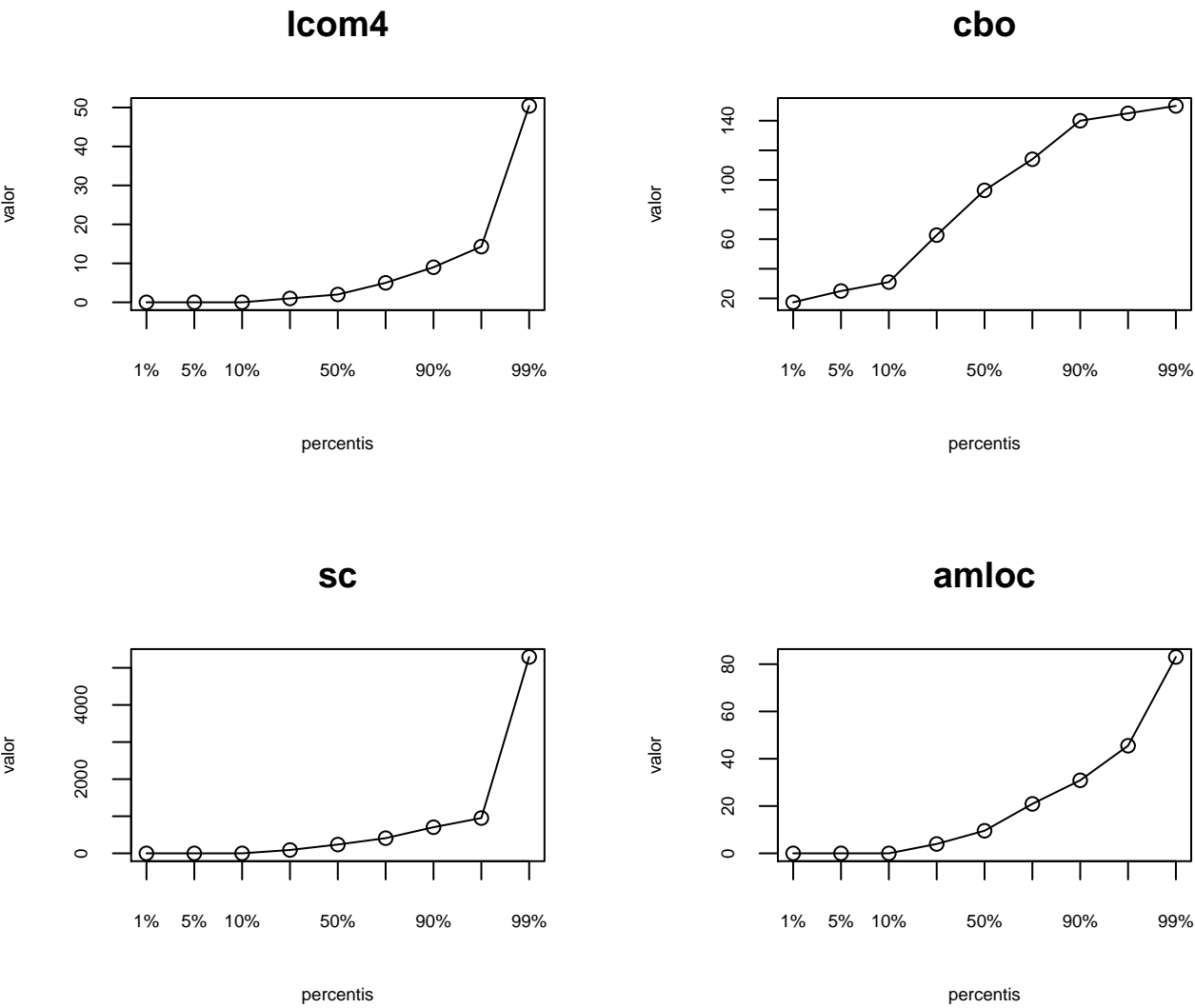


Figura 4.14 distribuição das métricas para a ferramenta cppcheck

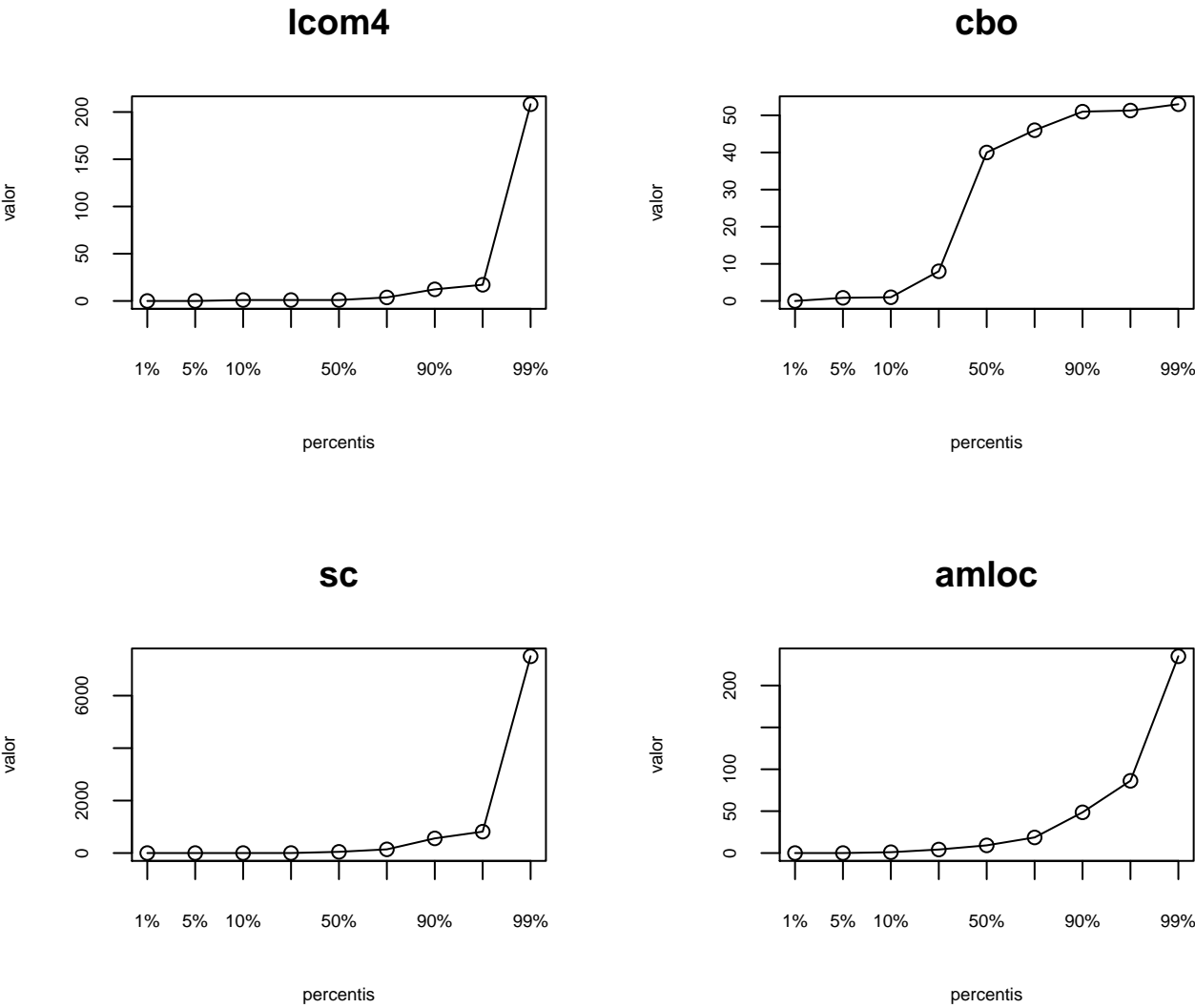


Figura 4.15 distribuição das métricas para a ferramenta equal

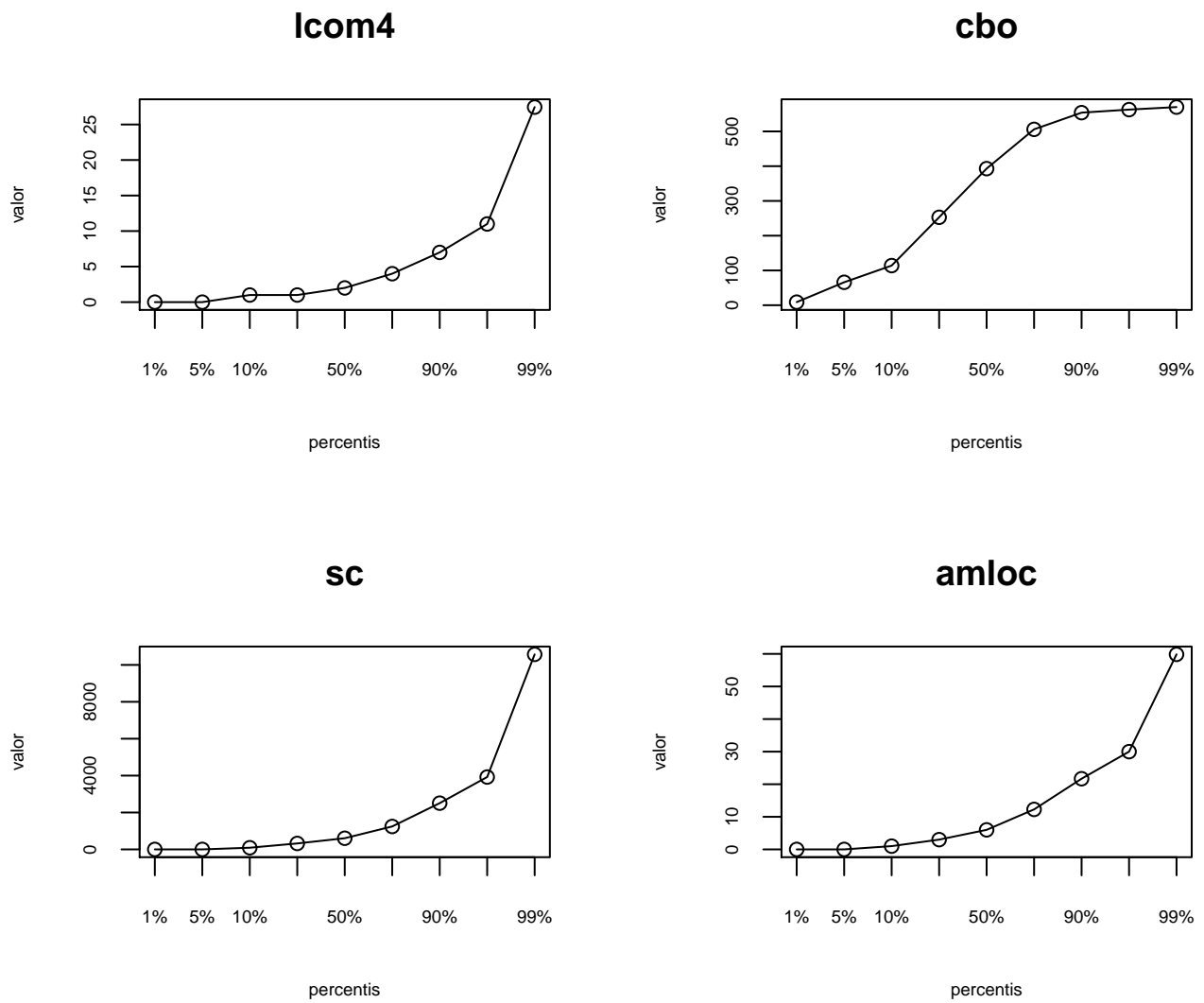


Figura 4.16 distribuição das métricas para a ferramenta findbugs

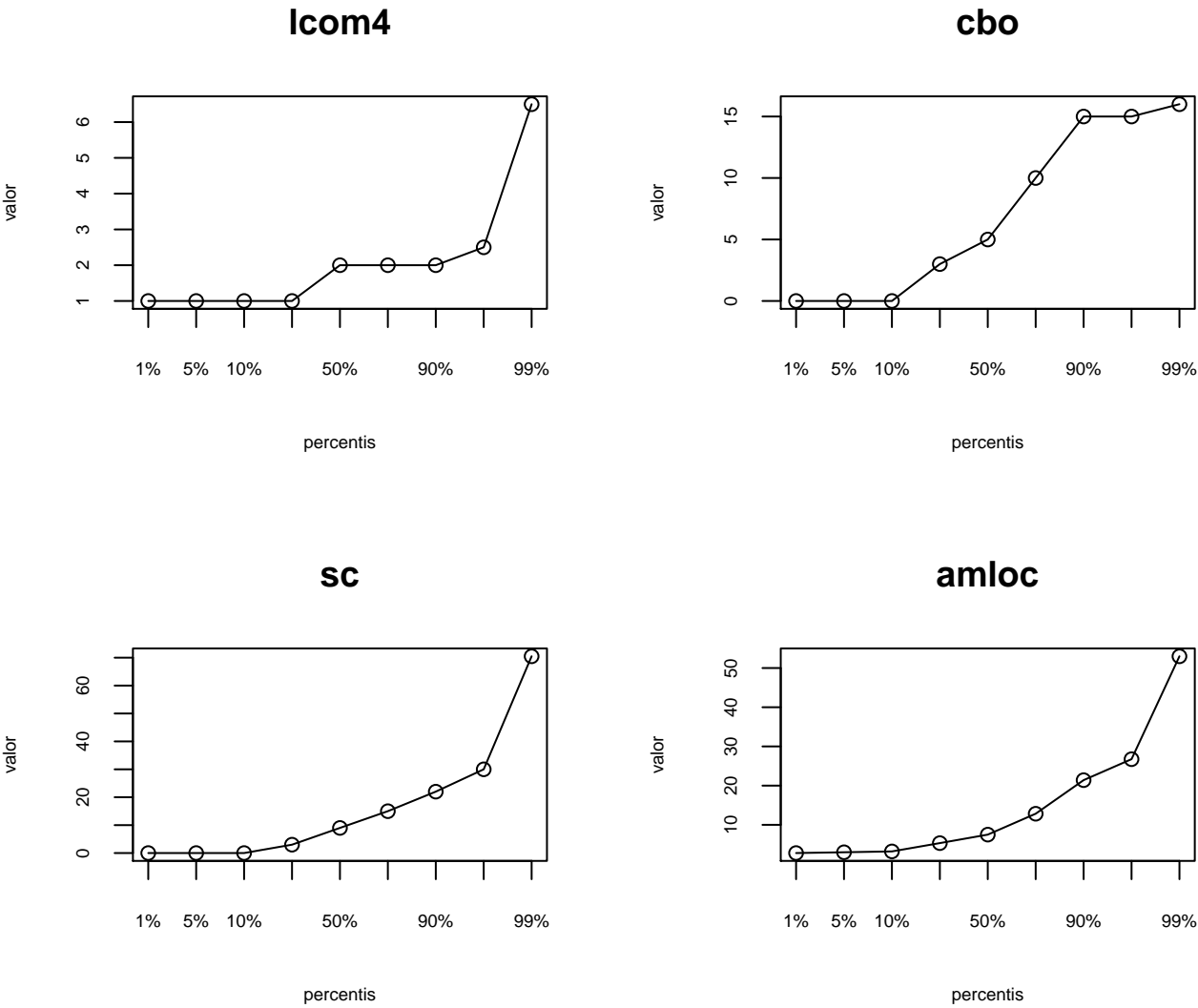


Figura 4.17 distribuição das métricas para a ferramenta findsecuritybugs

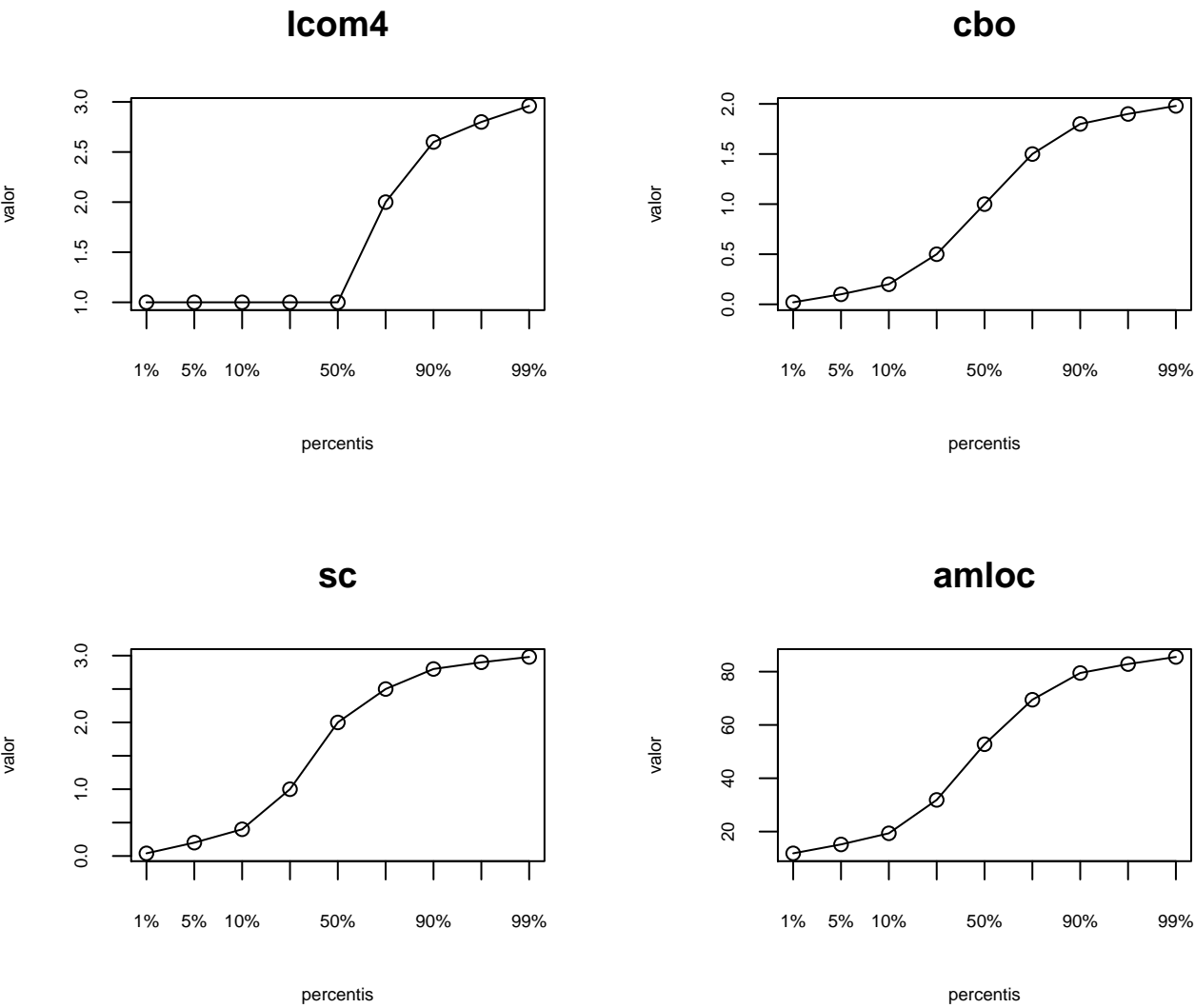


Figura 4.18 distribuição das métricas para a ferramenta jlint

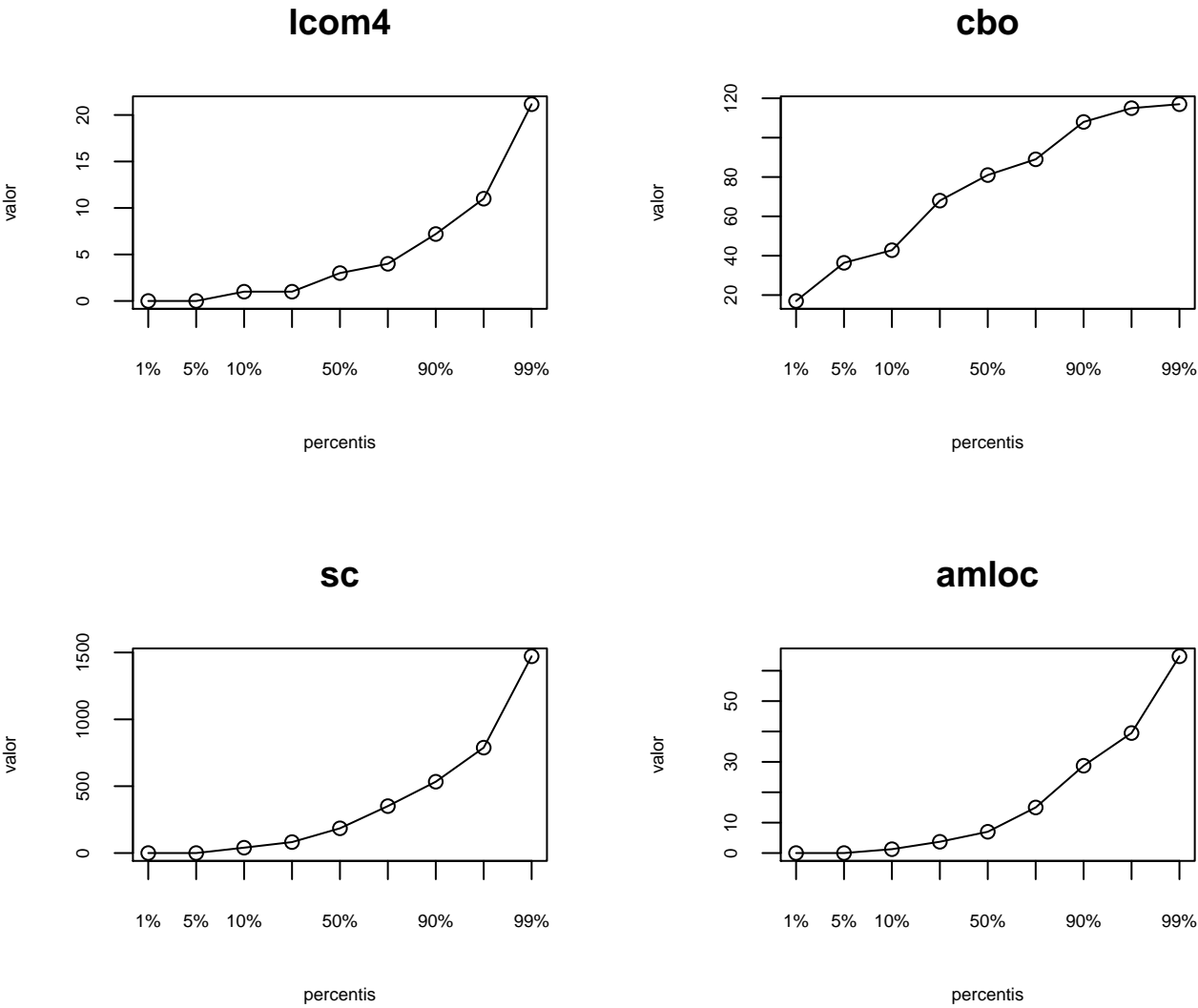


Figura 4.19 distribuição das métricas para a ferramenta pixy

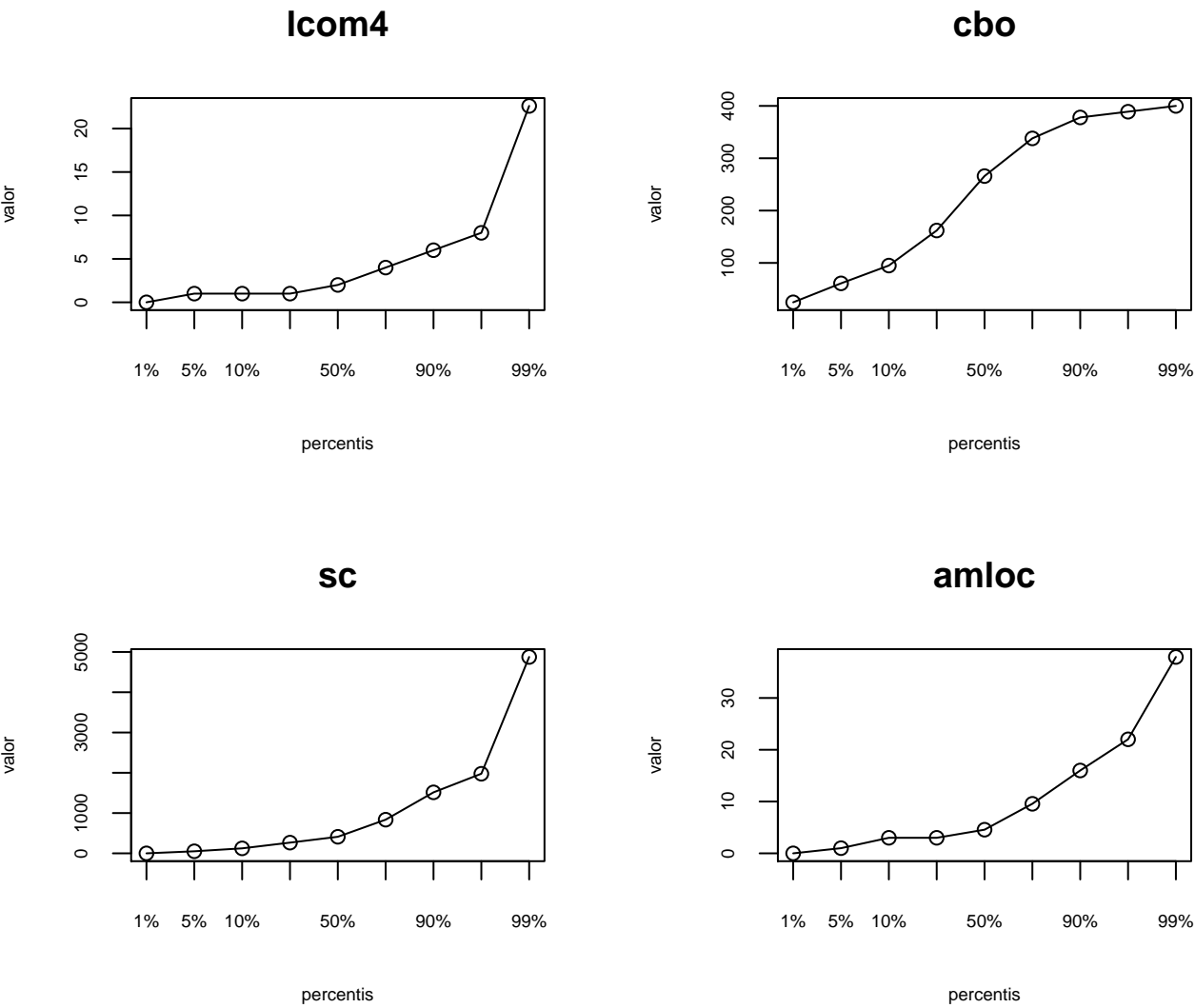


Figura 4.20 distribuição das métricas para a ferramenta pmd

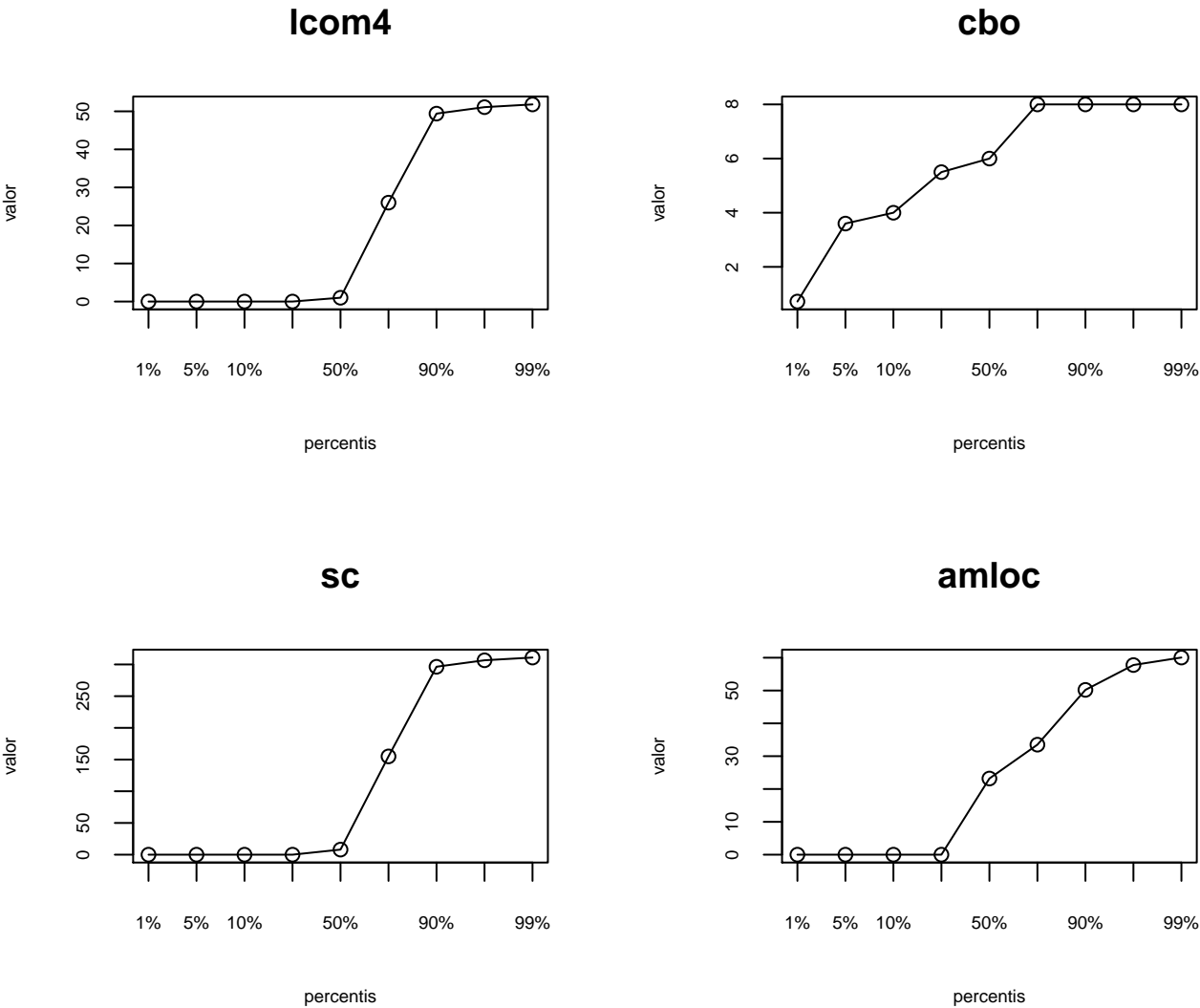


Figura 4.21 distribuição das métricas para a ferramenta rats

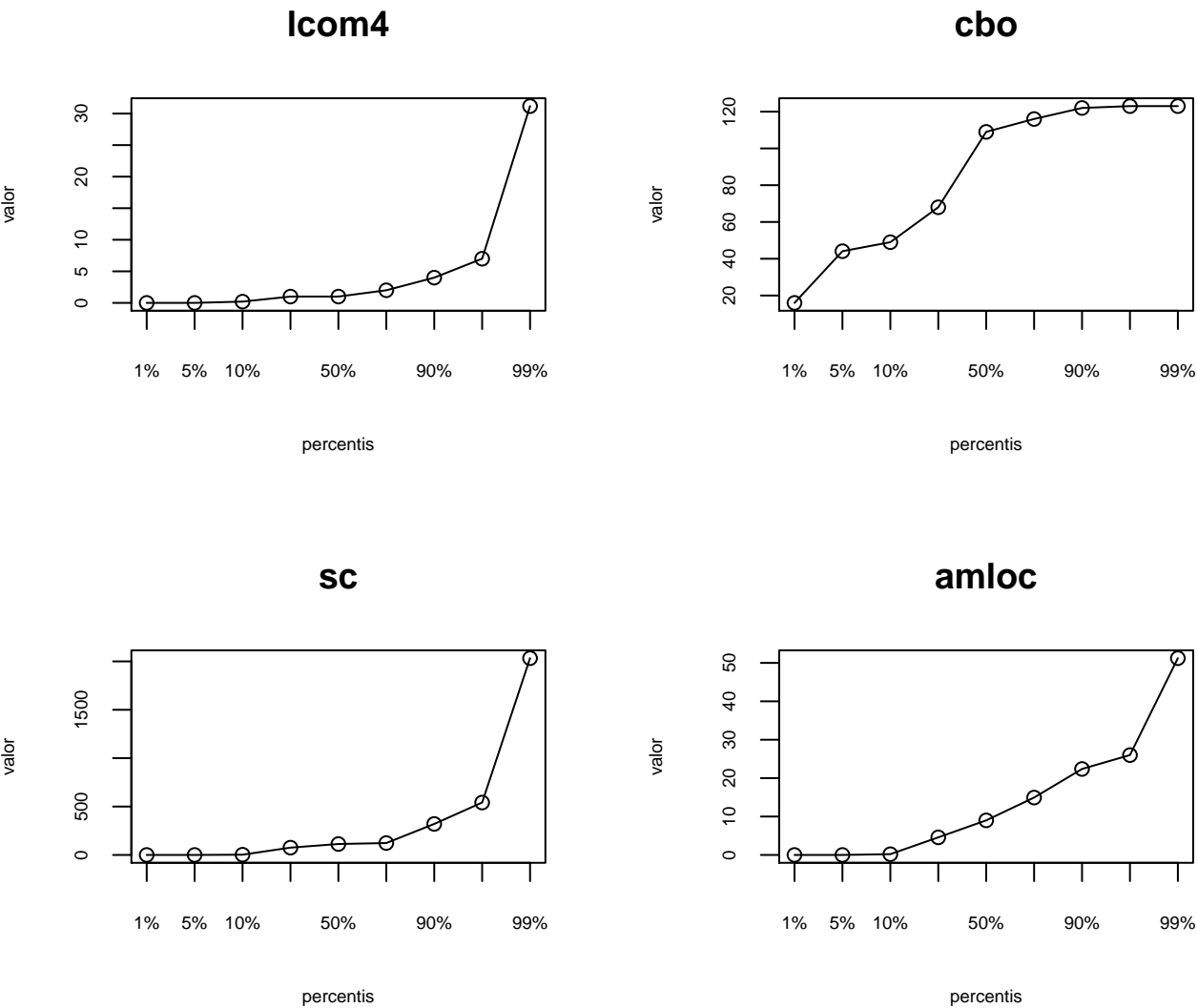


Figura 4.22 distribuição das métricas para a ferramenta smatch

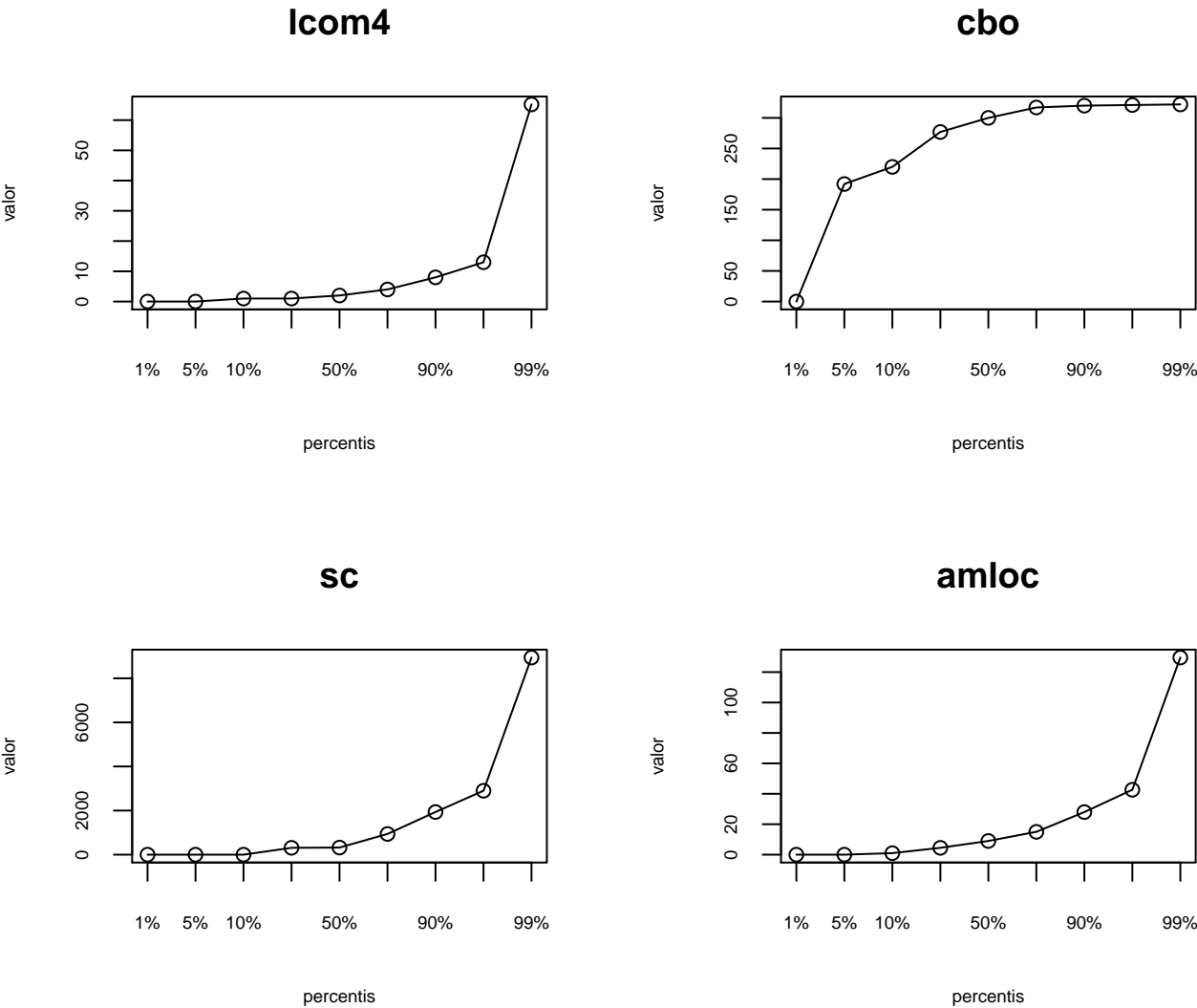


Figura 4.23 distribuição das métricas para a ferramenta splint

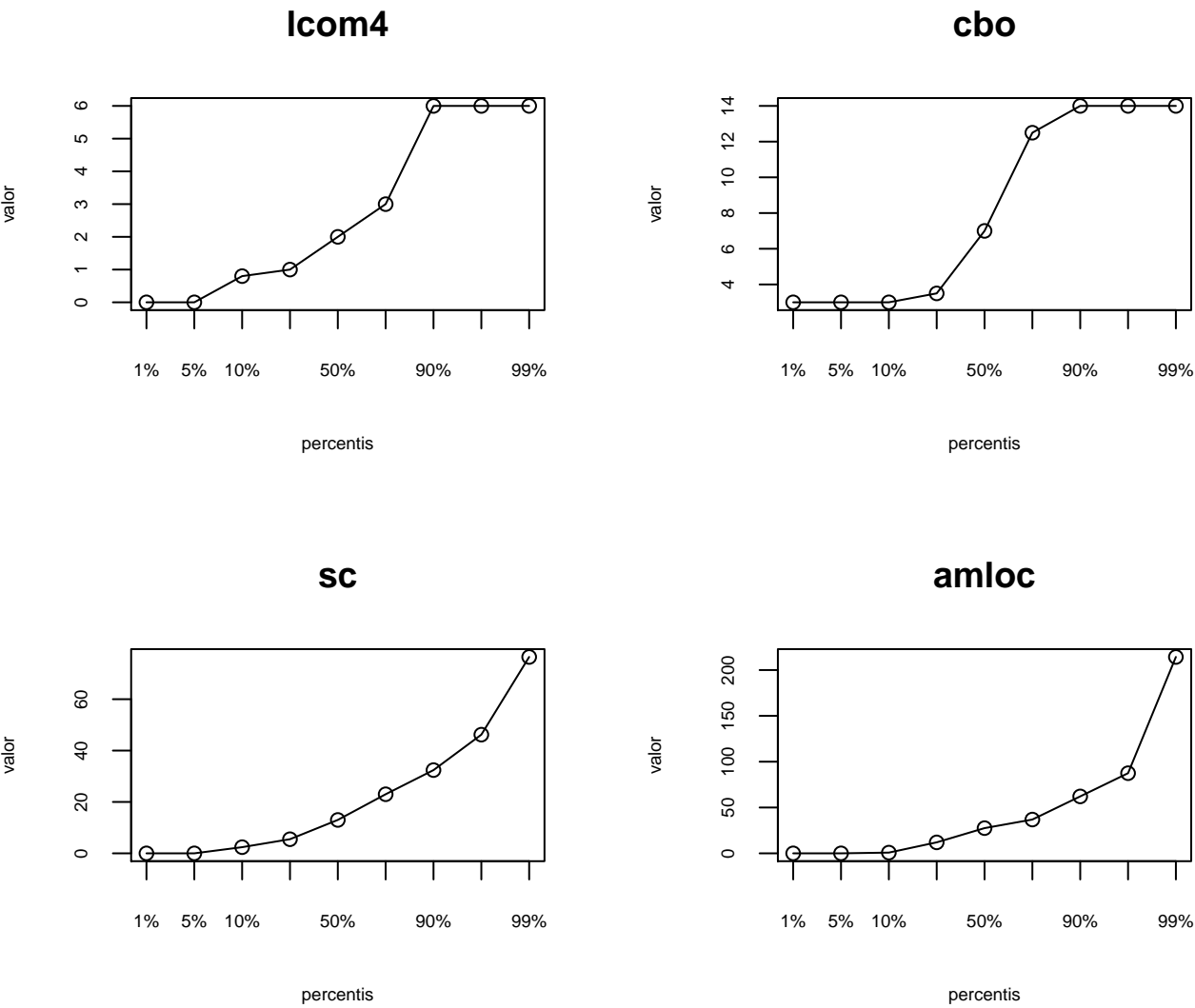


Figura 4.24 distribuição das métricas para a ferramenta uno

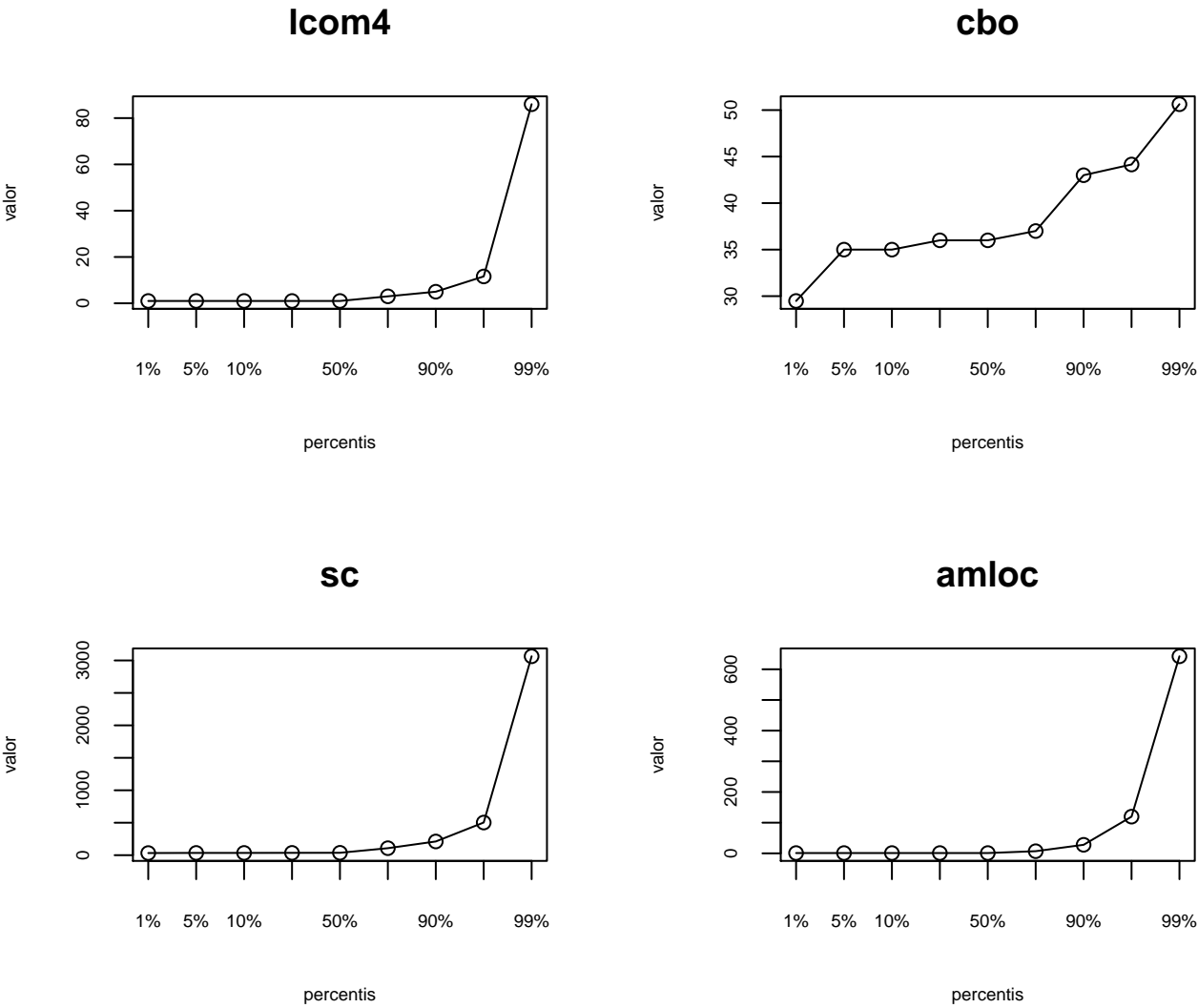


Figura 4.25 distribuição das métricas para a ferramenta wap

4.3.5 Gráfico comparativo para as ferramentas academicas

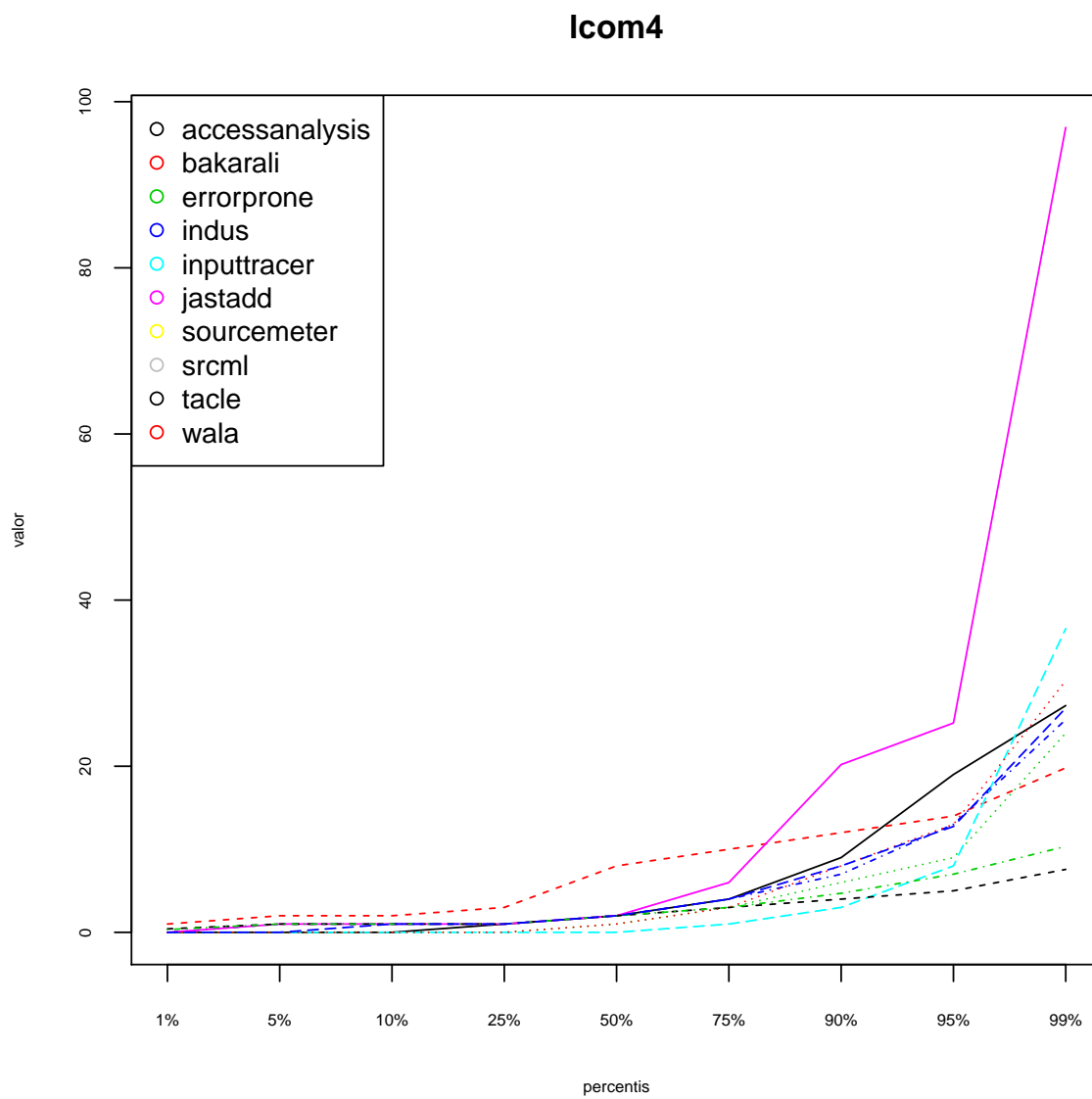


Figura 4.26 distribuição para as ferramentas da academia

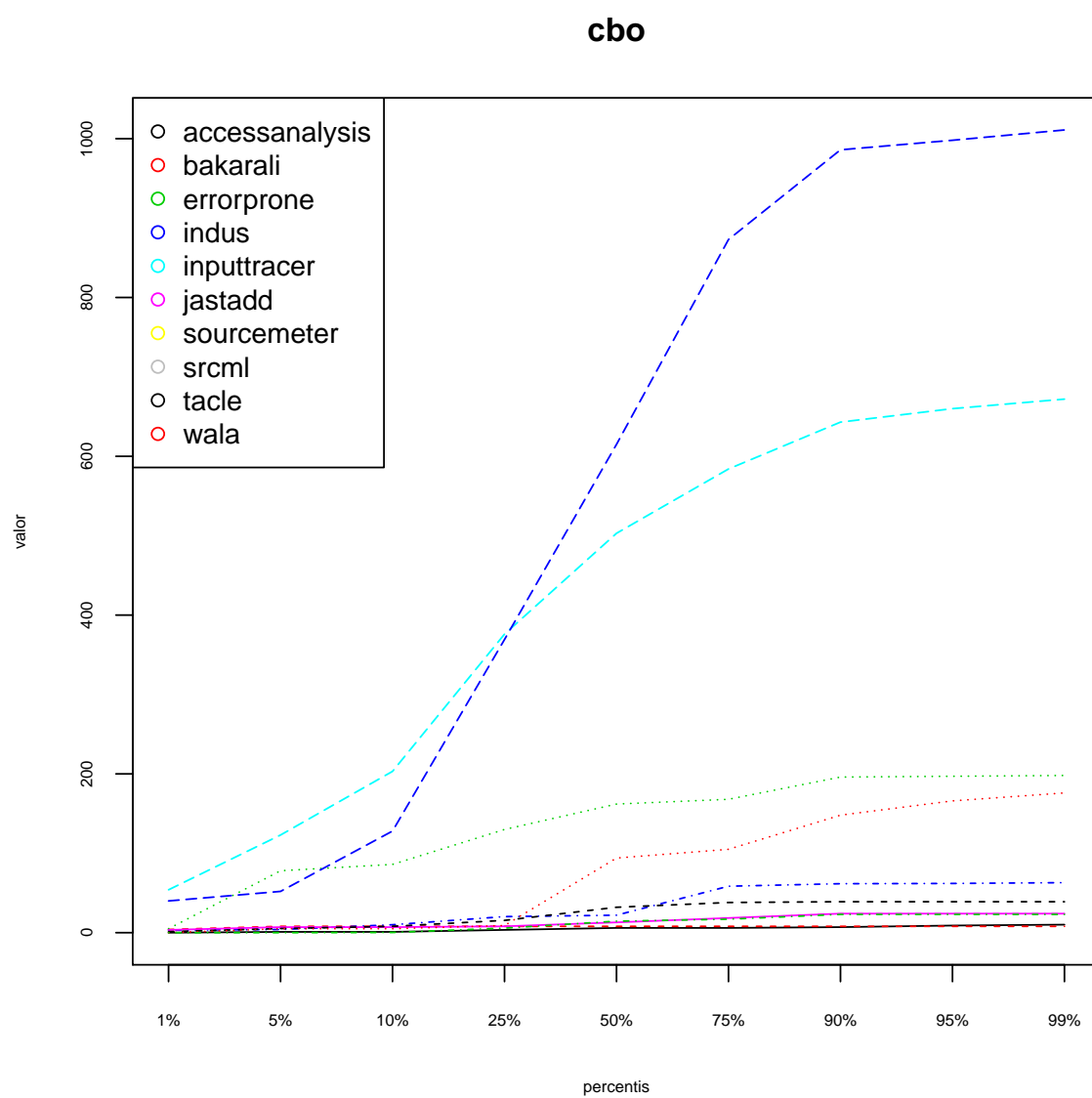


Figura 4.27 distribuição para as ferramentas da academia

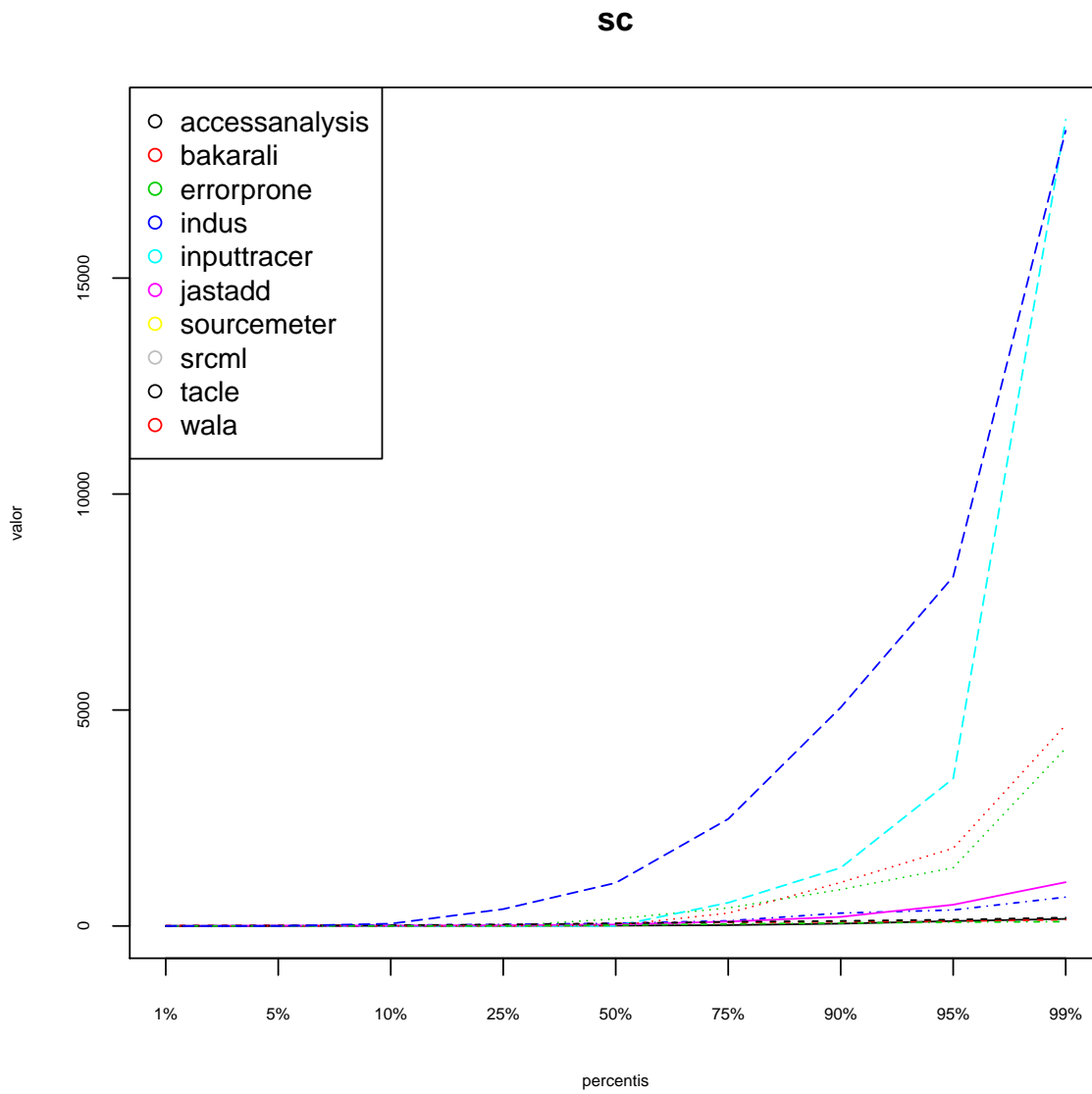


Figura 4.28 distribuição para as ferramentas da academia

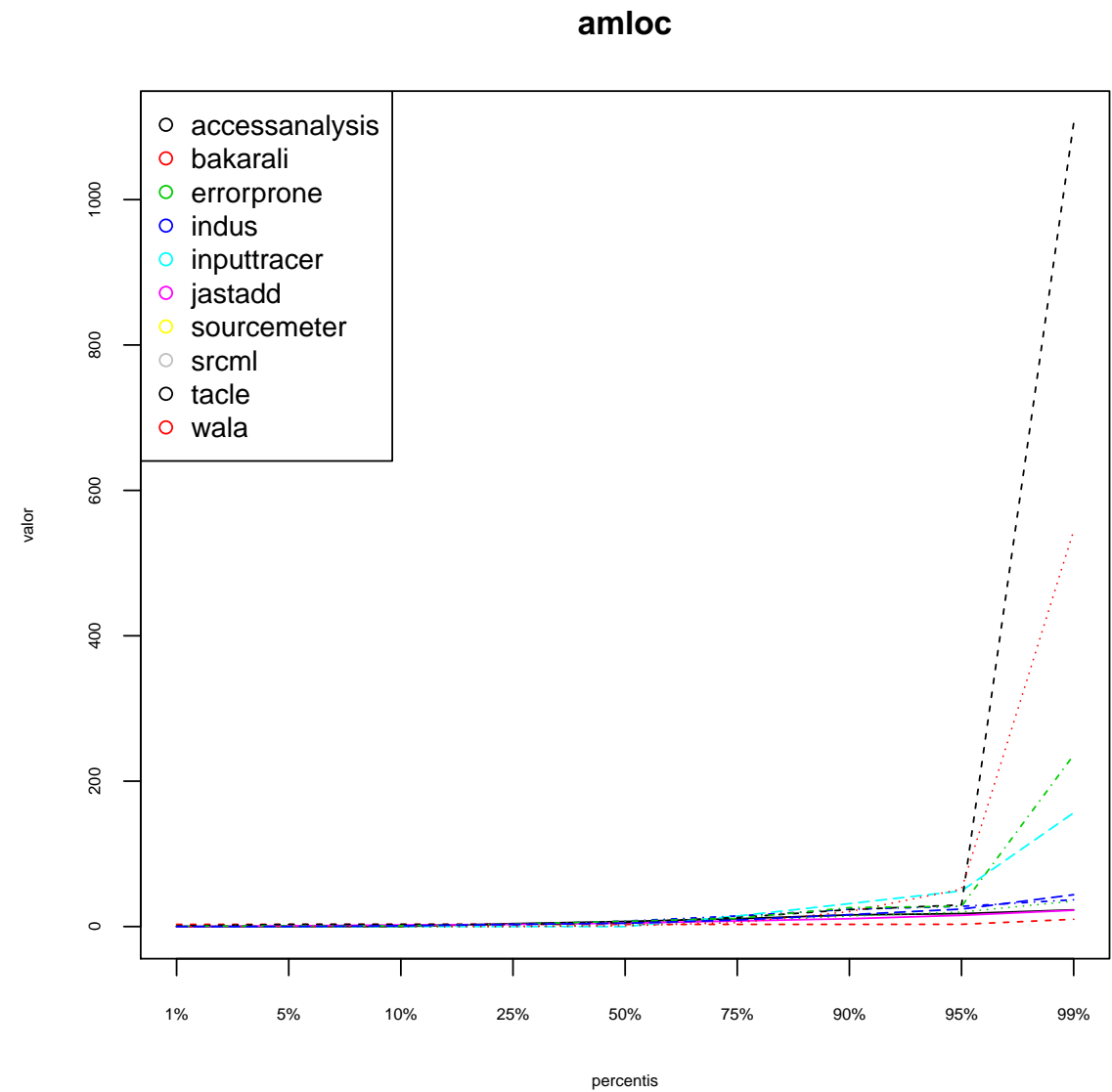


Figura 4.29 distribuição para as ferramentas da academia

4.3.6 Gráfico comparativo para as ferramentas da indústria

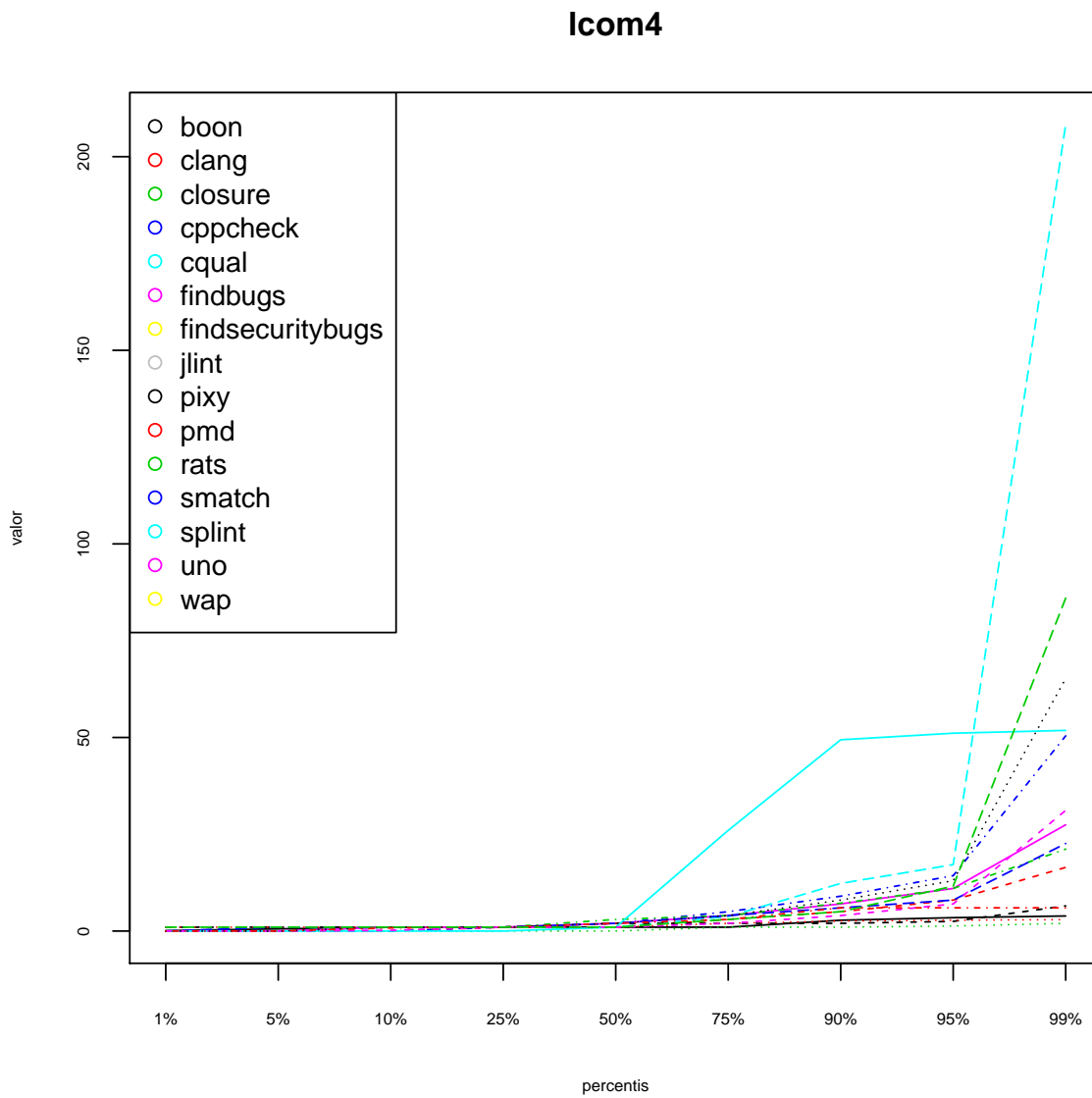


Figura 4.30 distribuição para as ferramentas da indústria

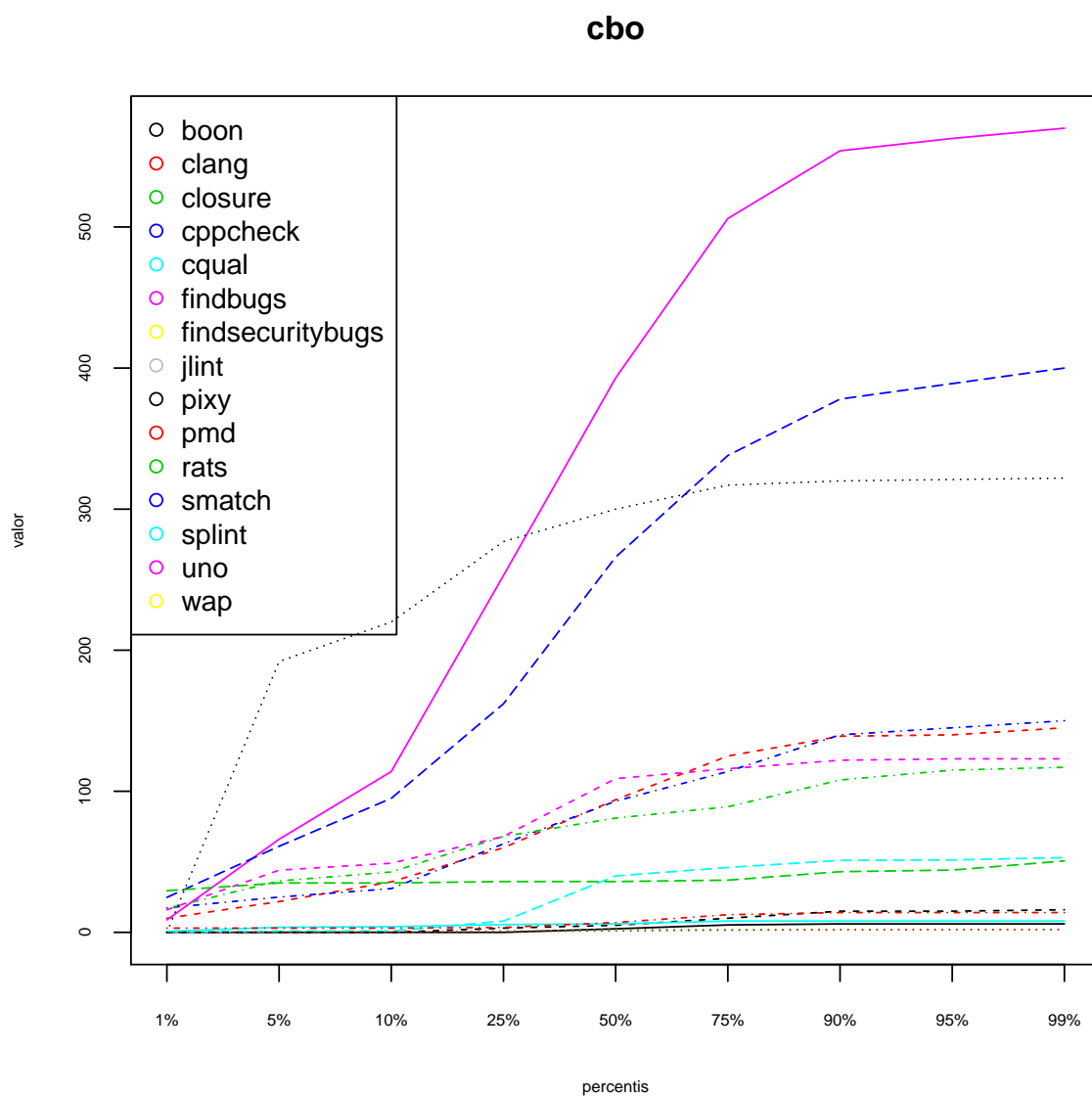


Figura 4.31 distribuição para as ferramentas da indústria

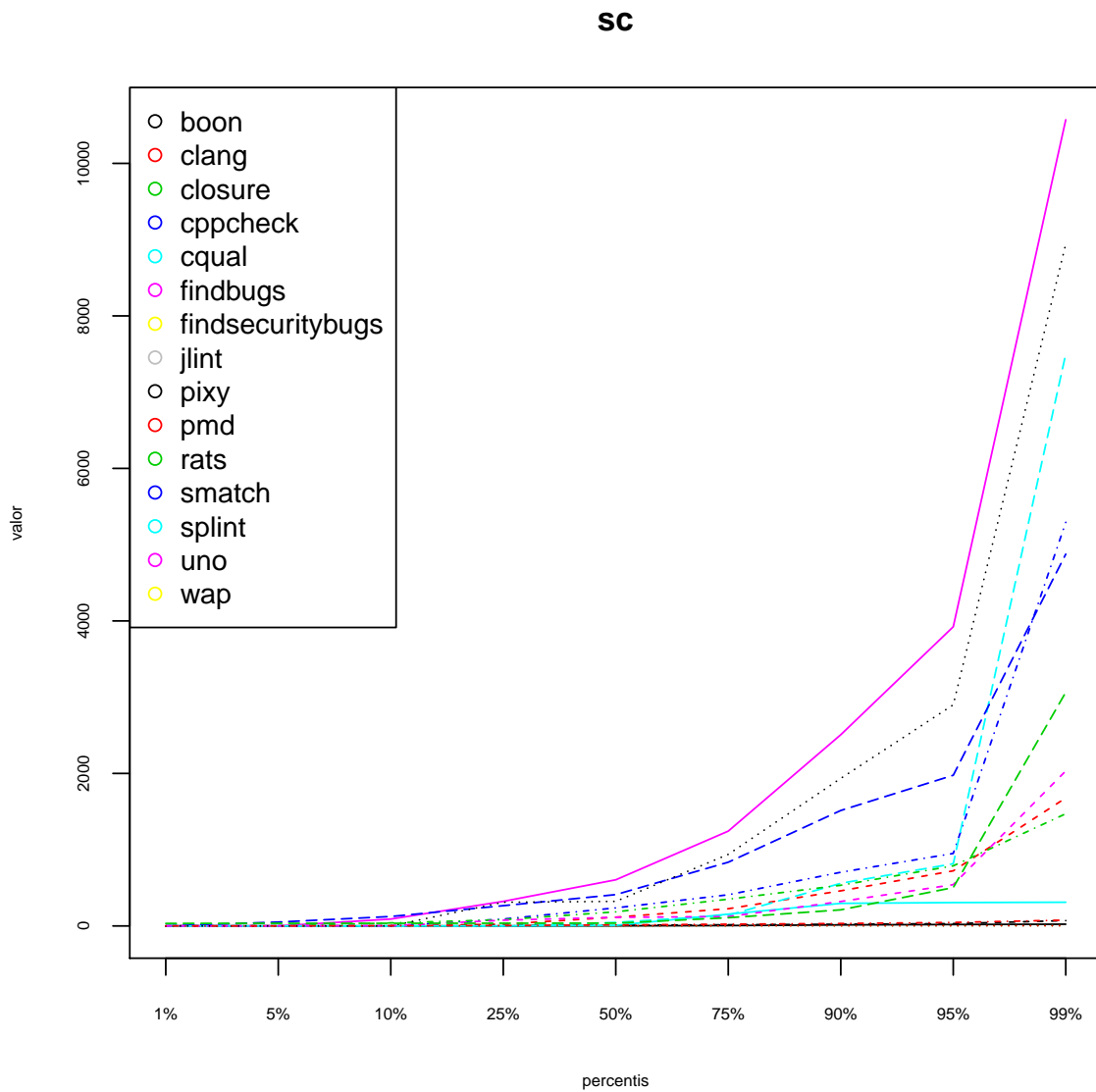


Figura 4.32 distribuição para as ferramentas da indústria

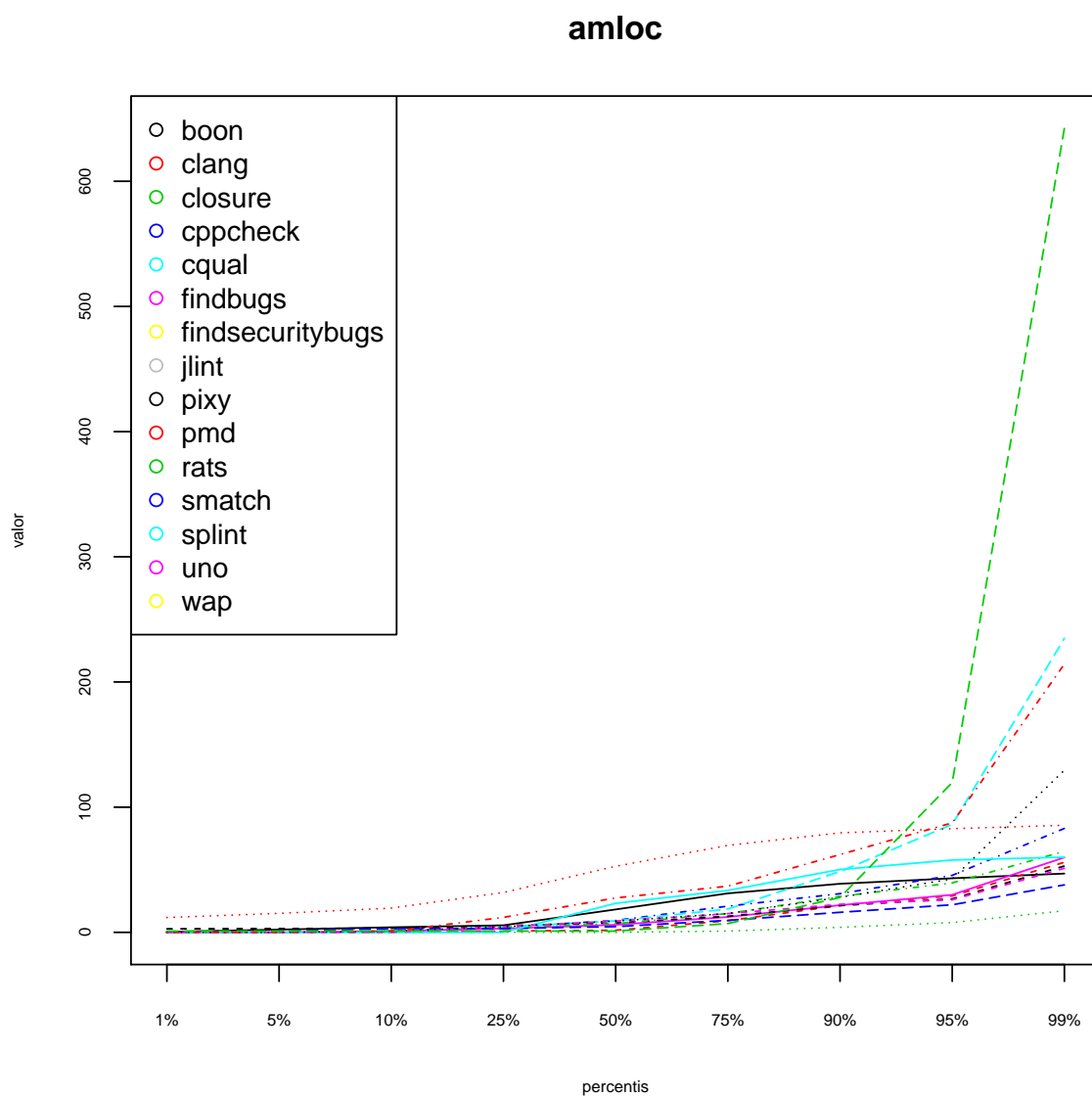


Figura 4.33 distribuição para as ferramentas da indústria

4.4 EVOLUÇÃO INICIAL DA FERRAMENTA ANALIZO

(pendente) “apenas se der tempo”.

CAPÍTULO 5

CONCLUSÃO

(pendente) “discutir as contribuições dando resposta ao que foi colocado na introdução, fizemos isto, conseguimos estes resultados, e iremos fazer aquilo nos proximos passos.”

5.1 LIMITAÇÕES DO TRABALHO

(pendente)

5.2 TRABALHOS FUTUROS

(pendente)

REFERÊNCIAS BIBLIOGRÁFICAS

- BINKLEY, D. Source code analysis: A road map. In: IEEE COMPUTER SOCIETY. *2007 Future of Software Engineering*. [S.l.], 2007. p. 104–119.
- CHIDAMBER, S. R.; KEMERER, C. F. A metrics suite for object oriented design. *Software Engineering, IEEE Transactions on*, IEEE, v. 20, n. 6, p. 476–493, 1994.
- CRUZ, D. d.; HENRIQUES, P. R.; PINTO, J. S. Code analysis: Past and present. 2009.
- DARCY, D. P. et al. The structural complexity of software an experimental test. *Software Engineering, IEEE Transactions on*, IEEE, v. 31, n. 11, p. 982–995, 2005.
- HARRISON, R.; COUNSELL, S. J.; NITHI, R. V. An evaluation of the mood set of object-oriented software metrics. *Software Engineering, IEEE Transactions on*, IEEE, v. 24, n. 6, p. 491–496, 1998.
- HITZ, M.; MONTAZERI, B. *Measuring Coupling and Cohesion In Object-Oriented Systems*. [s.n.], 1995. Disponível em: <http://www.isys.uni-klu.ac.at/PDF/1995-0043-MHBM.pdf>.
- ISO, I. Iec25010: 2011 systems and software engineering—systems and software quality requirements and evaluation (square)—system and software quality models. *International Organization for Standardization*, p. 34, 2011.
- JÚNIOR, M. R. P. Estudo de métricas de código fonte no sistema android e seus aplicativos. p. 82, 2015. Disponível em: <https://fga.unb.br/tcc/software/tcc-2015.1-engenharia-de-software/marcos-ronaldo-pereira-junior/v3-tcc.pdf>.
- MCCABE, T. J. A complexity measure. *Software Engineering, IEEE Transactions on*, IEEE, n. 4, p. 308–320, 1976.
- MEIRELLES, P. R. M. *Monitoramento de métricas de código-fonte em projetos de software livre*. Tese (Doutorado) — Universidade de São Paulo, São Paulo, Brazil, 2013.
- NIST. *SAMATE - Source Code Security Analyzers*. 2016. [Online; acessado 20 Abril de 2016]. Disponível em: http://samate.nist.gov/index.php/Source_Code_Security_Analyzers.html.
- ROSENBERG, L. H.; HYATT, L. E. Software quality metrics for object-oriented environments. *Crosstalk journal*, v. 10, n. 4, 1997.

SHARBLE, R. C.; COHEN, S. S. The object-oriented brewery: a comparison of two object-oriented development methods. *ACM SIGSOFT Software Engineering Notes*, ACM, v. 18, n. 2, p. 60–73, 1993.

SHIH, T. K. et al. Decomposition of inheritance hierarchy dags for object-oriented software metrics. In: *Engineering of Computer-Based Systems, 1997. Proceedings., International Conference and Workshop on.* [S.l.: s.n.], 1997. p. 238–245.

TERCEIRO, A. et al. Analizo: an extensible multi-language source code analysis and visualization toolkit. p. 6, 2010.

TERCEIRO, A. S. de A. *Caracterização da Complexidade Estrutural em Sistemas de Software*. Tese (Doutorado) — Universidade Federal da Bahia, Salvador, 2012.